

XVI Забабахинские научные чтения

Усредненный по углам потенциал Эвальда для расчета термодинамических свойств однокомпонентной плазмы в широком диапазоне параметра неидеальности

Левашов П.Р., Демьянов Г.С.

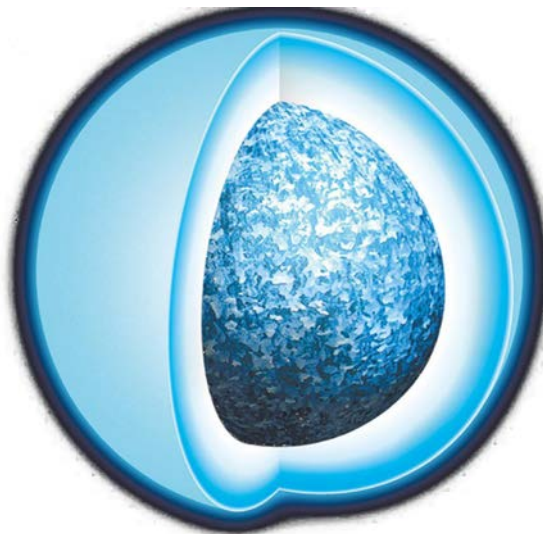
Объединенный институт высоких температур РАН, Ижорская ул., 13, стр.2, Москва 125412, Россия
Московский физико-технический институт (государственный университет), Институтский пер., 9,
Долгопрудный 141701, Россия



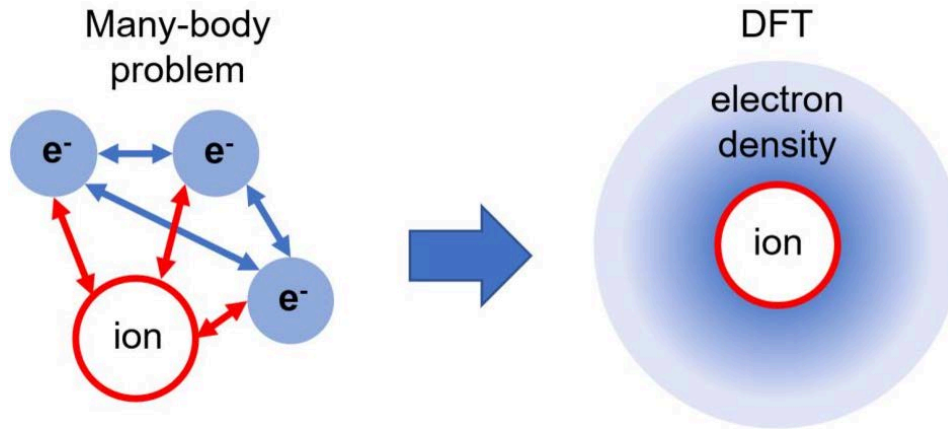
Снежинск – 2023

Актуальность работы

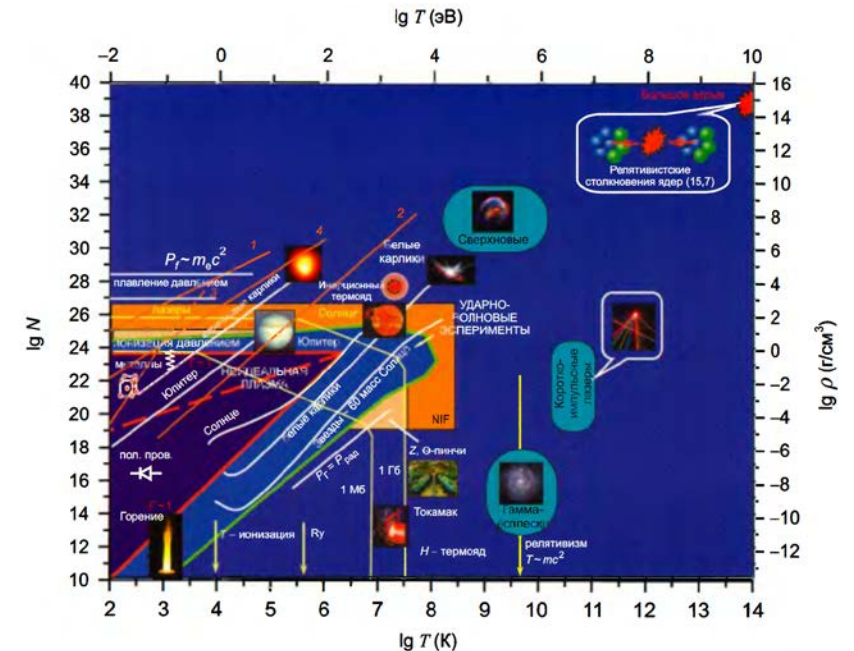
- Однокомпонентная плазма – широкоизученная простая модель экстремальных состояний вещества (ионы классические, электроны полностью вырождены)
- Используется как модель вещества в ядрах белых карликов, Юпитера и внешней коре нейтронных звезд
- В квантовом случае свойства плазмы – нерешенная задача (проблема фермионного знака)



Ядро белого карлика
[<https://warwick.ac.uk/>]



Метод функционала плотности
[<http://jultika.oulu.fi/>]



Фазовая диаграмма вещества
[Фортов]

Цель и задача работы

Цель: разработать эффективные методы расчета (термодинамических) свойств плазмы

Задача работы: рассчитать термодинамические свойства **классической** однокомпонентной **плазмы** в термодинамическом пределе

Метод:

1. Усреднение потенциала Эвальда по направлениям
2. Моделирование Монте-Карло с усредненным потенциалом

Однокомпонентная плазма (ОСР)

Плотность заряда:

$$w(\mathbf{r}) = Ze \sum_{i=1}^N \sum_{\mathbf{n}} \delta(\mathbf{r} - \mathbf{r}_i - \mathbf{n}L) - N \frac{Ze}{L^3} \quad (1)$$

Параметр неидеальности:

$$\Gamma = \frac{(Ze)^2}{k_B T a}, \quad a^3 \equiv \frac{3}{4\pi\rho}, \quad \rho = N/L^3 \quad (2)$$

Решение уравнения Пуассона в периодических граничных условиях ($U \equiv E/(k_B T)$, длины в ед. a):

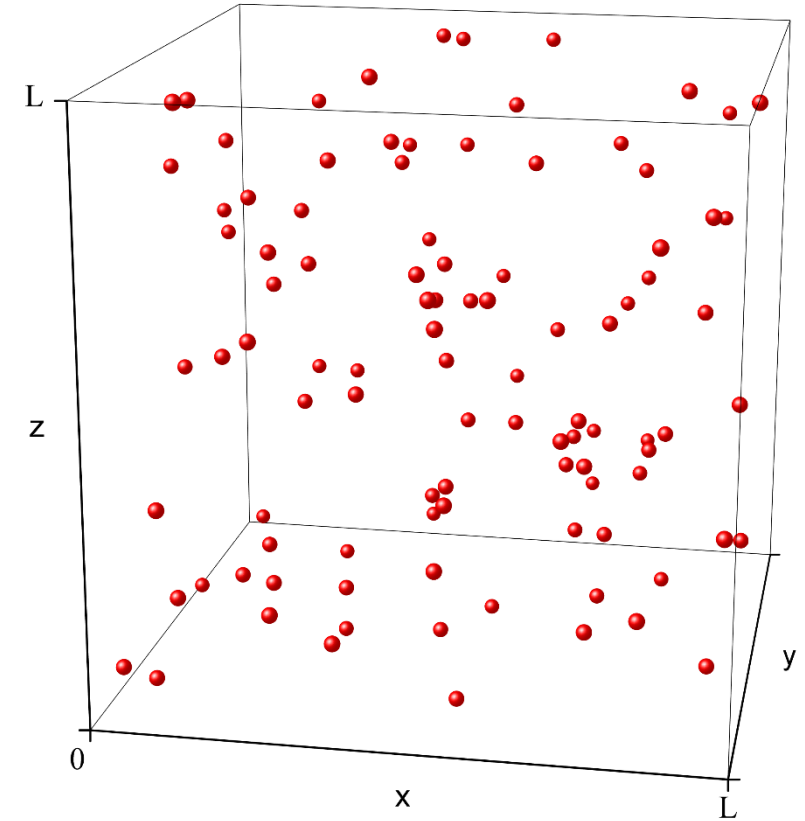
$$U^{\text{Ew}}(\Gamma) = U_0(\Gamma) + \frac{\Gamma}{2} \sum_{i=1}^N \sum_{\substack{j=1 \\ j \neq i}}^N v(\mathbf{r}_{ij}), \quad v(\mathbf{r}) = v_1(r) + v_2(\mathbf{r}) \quad (3)$$

$$Lv_1(r) = \frac{\text{erfc}(\sqrt{\pi}r/L)}{r/L} - 1 \quad (4)$$

$$Lv_2(\mathbf{r}) = \sum_{\mathbf{n} \neq \mathbf{0}} \left[\frac{\text{erfc}(\sqrt{\pi}|\mathbf{r}/L + \mathbf{n}|)}{|\mathbf{r}/L + \mathbf{n}|} + \frac{e^{-\pi n^2}}{\pi n^2} \cos(2\pi \mathbf{r} \cdot \mathbf{n}/L) \right] \quad (5)$$

$$U_0(\Gamma) = \frac{\Gamma}{2} N \lim_{|\mathbf{r}| \rightarrow 0} \left(v(\mathbf{r}) - \frac{1}{r} \right) = -\frac{1}{2} N^{2/3} \Gamma M_{sc} \quad (6)$$

$$M_{sc} = 1.760118884$$



N точечных частиц \mathbf{r}_i , куб L^3

← Сферически-симметричная

← Зависит от направления

Мотивация: подход Якуба и Рончи

Keeping in mind that all orientations of the main cell in an isotropic fluid should be equivalent, we can average both sides of Eq. (3) over all directions of the vector \mathbf{n} at a fixed distance r_{ij} . If brackets $\langle \dots \rangle$ indicate averaging, we can write

$$\langle \dots \rangle = \frac{1}{4\pi} \int_{-1}^{+1} d(\cos \vartheta) \int_{-\pi}^{\pi} d\psi \dots,$$

$$\varphi_2(r_{ij}) = \frac{Q_j}{4\pi\epsilon_0 r_{ij}} \left(1 + \sum_{k \geq 0} C_k r_{ij}^{2k+1} \right). \quad (5)$$

$$C_0 = \frac{1}{\pi} \sum_{\mathbf{n} > 0} \frac{1}{n^2} e^{-\pi^2 n^2 / \delta^2} - \frac{2\delta}{\sqrt{\pi}},$$

$$C_1 = \frac{2\pi}{3L^3},$$

$$C_k = 0, \quad k > 1.$$

$$\phi^{(C)}(r_{ij}) = \frac{Q_i Q_j}{4\pi\epsilon_0 r_{ij}} \left(1 + \frac{1}{2} \left(\frac{r_{ij}}{r_m} \right)^3 \right), \quad (6)$$

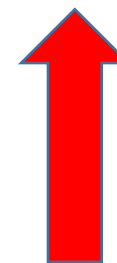
← **Без вывода!**

638

E. Yakub and C. Ronchi

gets the following generalization of (6) for OCP:

$$U_N^{(\text{OCP})} = -0.9 \frac{NQ^2}{4\pi\epsilon_0 r_m} + \frac{1}{2} \sum_{i=1}^N \sum_{\substack{j=1 \\ j \neq i}}^N \tilde{\phi}(r_{ij}),$$



Неверно!

Метод увеличивает эффективность на несколько порядков!

- Yakub E. and Ronchi C., J. Chem. Phys. 119, 11556 (2003)
- Yakub E. and Ronchi C., J. Low Temp. Phys. 139, 633 (2005)

Однокомпонентная плазма: ААЕР

Усреднение анизотропной части потенциала [2]:

$$v_2^a(r_{ij}) = \frac{1}{4\pi} \int_{-1}^1 d(\cos \theta) \int_0^{2\pi} v_2(\mathbf{r}_{ij}) d\psi \quad (1)$$

Angular-averaged Ewald potential (ААЕР) для однокомпонентной плазмы (**точное** равенство, [3]):

$$v^a(r) = v_1(r) + v_2^a(r) = \frac{1}{r} \left[1 - M_{sc} \frac{r}{r_m} + \frac{1}{2} \left(\frac{r}{r_m} \right)^3 \right], \quad r_m = \left(\frac{3}{4\pi} \right)^{\frac{1}{3}} L = N^{1/3} < L \quad (2)$$

Возникает расходимость: $-M_{sc} \frac{r}{r_m} \implies M_{sc} \rightarrow C = 9/5$ (3)

Точка минимума $r = r_m$:

$$v^a(r_m) = \left[\frac{3}{2} - C \right] / r_m, \quad \partial v^a(r) / \partial r|_{r=r_m} = 0 \implies v^a(r > r_m) = 0 \quad (4)$$

[2] Yakub E. and Ronchi C., J. Chem. Phys. 119, 11556 (2003)

[3] Demyanov G.S. and Levashov P. R., Phys. Rev. E 106, 015204 (2022)

Сдвиг ААЕР ОСР

Сдвинутый потенциал:

$$\tilde{v}(r) = \begin{cases} \frac{1}{r} \left\{ 1 + \frac{1}{2} \left(\frac{r}{r_m} \right) \left[\left(\frac{r}{r_m} \right)^2 - 3 \right] \right\}, & r < r_m \\ 0, & r \geq r_m. \end{cases} \quad (1)$$

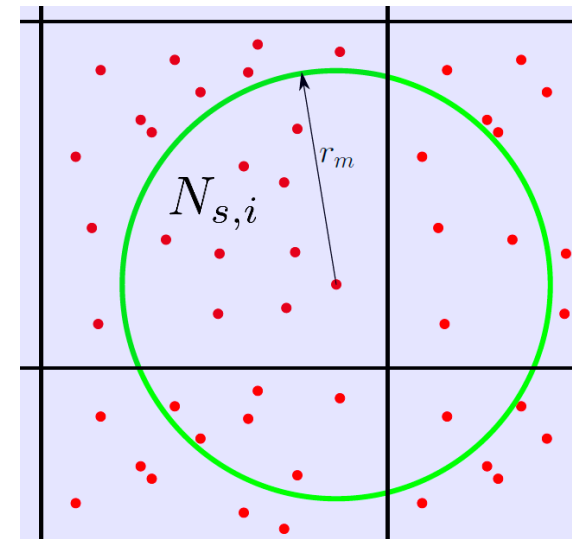
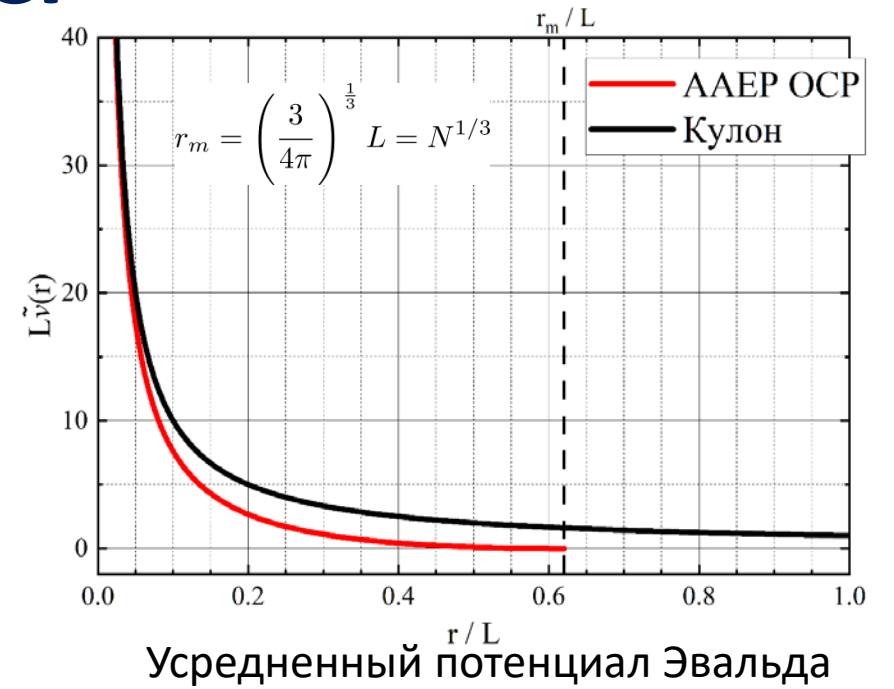
Финальная формула:

$$U(\Gamma) = \tilde{U}_0(\Gamma) + \frac{\Gamma}{2} \sum_{i=1}^N \sum_{\substack{j=1 \\ j \neq i}}^{N_{s,i}} \tilde{v}(r_{ij}) \quad (2)$$

Постоянное слагаемое (два вклада):

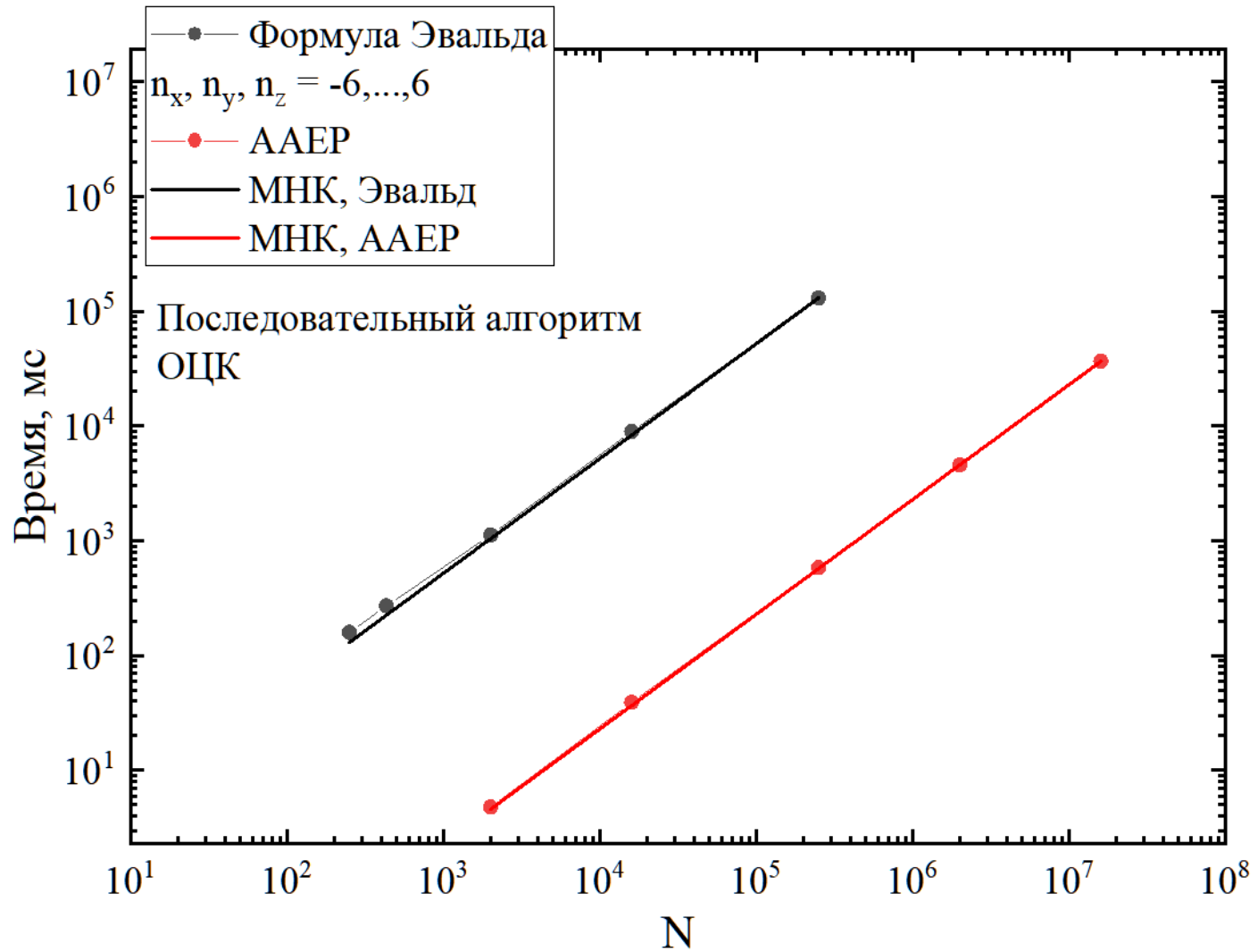
$$\tilde{U}_0(\Gamma) = U_{0a}(\Gamma) + \frac{N(N-1)\Gamma}{2} v^a(r_m) = -\frac{3}{20} N^{2/3} \Gamma(N+5) \quad (3)$$

$$U_{0a}(\Gamma) = \frac{\Gamma}{2} N \lim_{r \rightarrow 0} \left(v^a(r) - \frac{1}{r} \right) = -\frac{1}{2} N^{2/3} \Gamma C \quad (4)$$



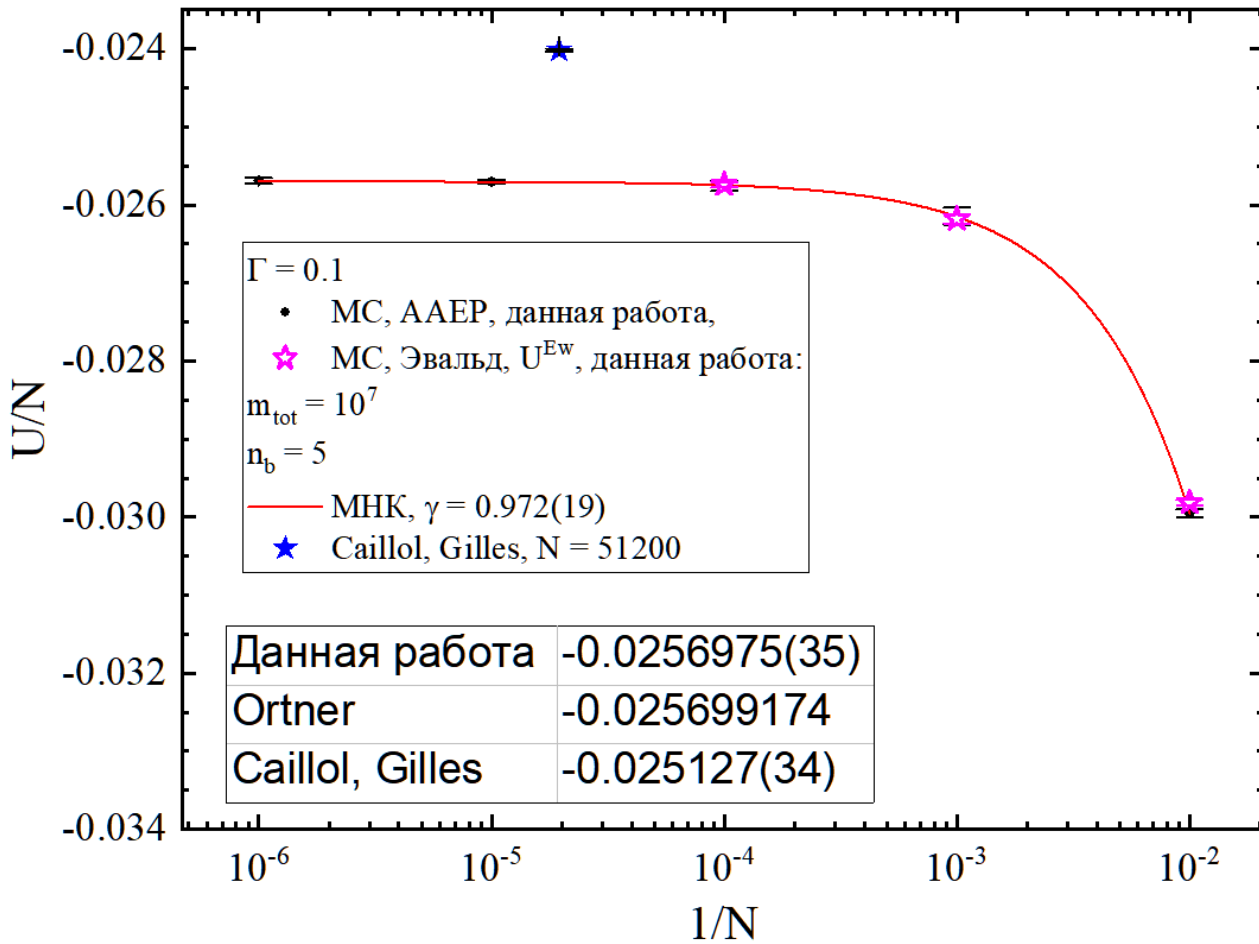
Процедура расчета

Ewald vs AAEP OCP: Производительность



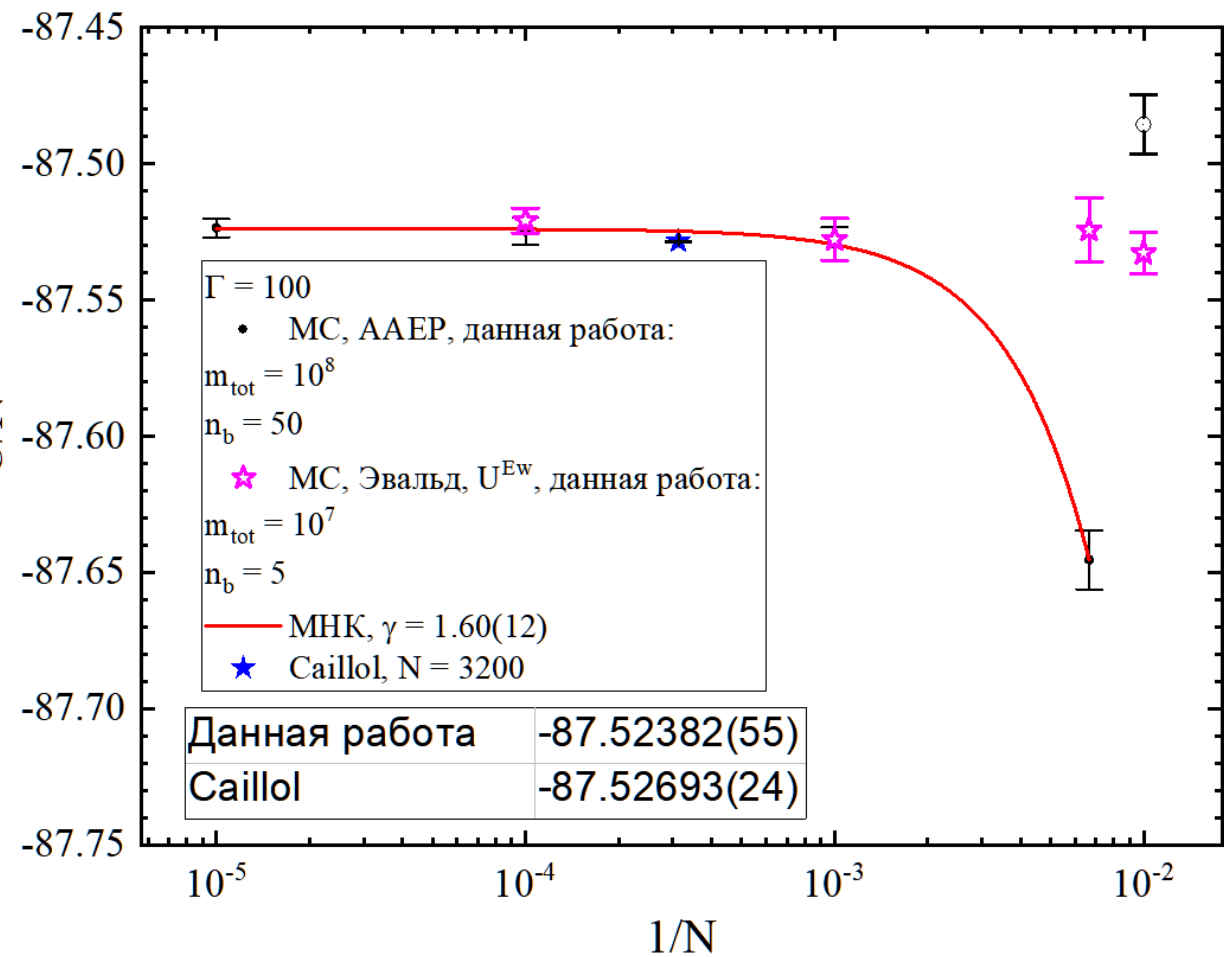
Скорость расчета в 230 больше

ААЕР ОСР: Монте-Карло, N-зависимость



Предполагаемая N-зависимость:

$$\frac{U}{N}(1/N) = \frac{U}{N}(0) + b(1/N)^\gamma$$



Разложение Ortner'а ($u = U/N, \Gamma \ll 1$):

$$u(\Gamma) = p_0 \Gamma^{3/2} + p_1 \Gamma^3 \ln \Gamma + p_2 \Gamma^3 + p_3 \Gamma^{9/2} \ln \Gamma + p_4 \Gamma^{9/2} + p_5 \Gamma^6 \ln^2 \Gamma + p_6 \Gamma^6 \ln \Gamma + p_7 \Gamma^6, \quad (94)$$

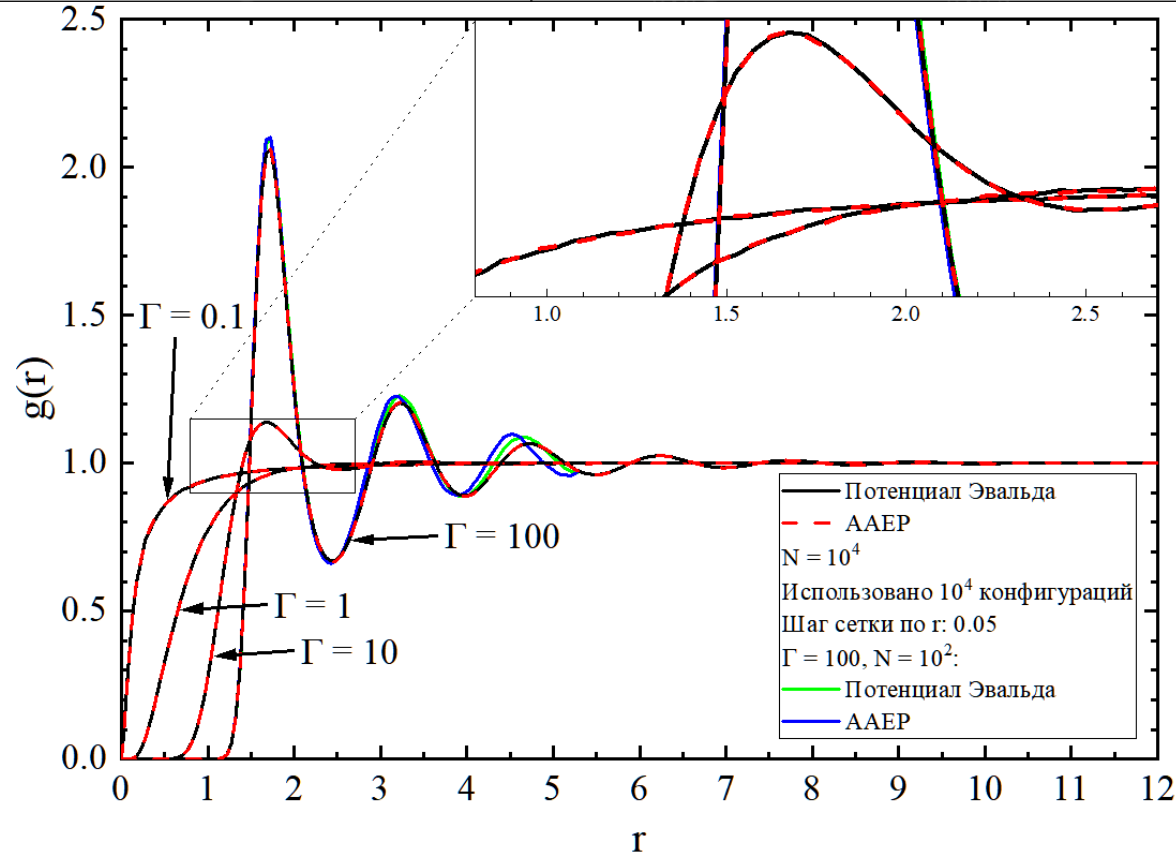
[3] Demyanov G. S. and Levashov P. R., Phys. Rev. E 106, 015204 (2022)

[4] Caillol JM and Gilles D., J. Phys. A: Math. Theor. 43.10, 105501 (2010)

[5] Ortner J., Phys. Rev. E 59(6), 6312 (1999)

ААЕР ОСР: Термодинамический предел энергии

Γ	0.01	0.05	0.1	1	10	100
МС (ААЕР, данная работа)	0.000 8611(42)	0.009 395(13)	0.025 6975(35)	0.571 414(24)	7.998 170(16)	87.523 82(55)
МС (Caillol <i>et al.</i>)	—	—	0.025 127(34)	0.571 403(22)	7.997 974(45)	87.526 93(24)
Ortner	0.000 861 93	0.009 386	0.025 699 174	1.665 188	—	—
Debye–Hückel, $\sqrt{3}\Gamma^{3/2}/2$	0.000 866 03	0.009 682	0.027 386 128	0.866 025	—	—
HNC	0.000 861 98	0.009 387	0.025 688 548	0.570 45534	—	—



Разложение Ortner'a ($u = U/N, \Gamma \ll 1$):

$$u(\Gamma) = p_0 \Gamma^{3/2} + p_1 \Gamma^3 \ln \Gamma + p_2 \Gamma^3 + p_3 \Gamma^{9/2} \ln \Gamma + p_4 \Gamma^{9/2} + p_5 \Gamma^6 \ln^2 \Gamma + p_6 \Gamma^6 \ln \Gamma + p_7 \Gamma^6, \quad (94)$$

[3] Demyanov G. S. and Levashov P. R., Phys. Rev. E 106, 015204 (2022)

[4] Caillol JM and Gilles D., J Phys A: Math. Theor. 43.10, 105501 (2010)

[5] Ortner J., Phys. Rev. E 59(6), 6312 (1999)

[6] Caillol JM, J. Chem. Phys. 111, 6538 (1999)

Angular-averaged Ewald potential for a Yukawa one-component plasma

Onegin A S^{1,2,*}, Demyanov G S^{1,2} and Levashov P R^{1,2}

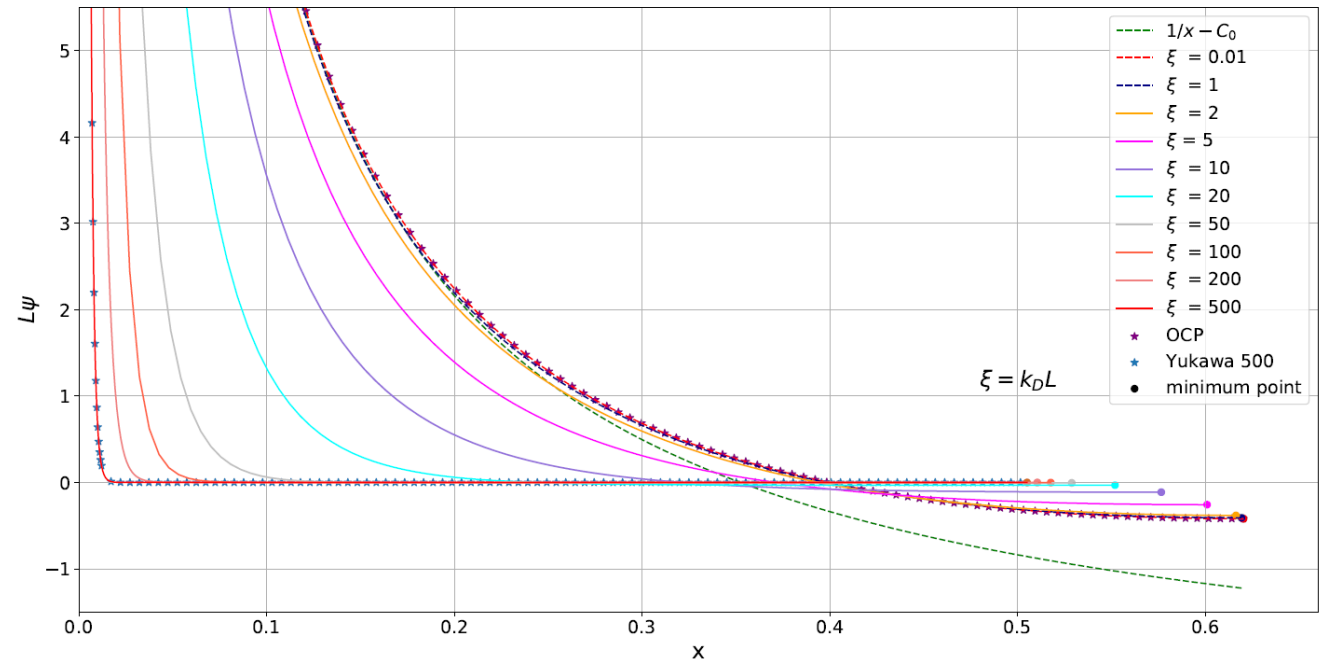
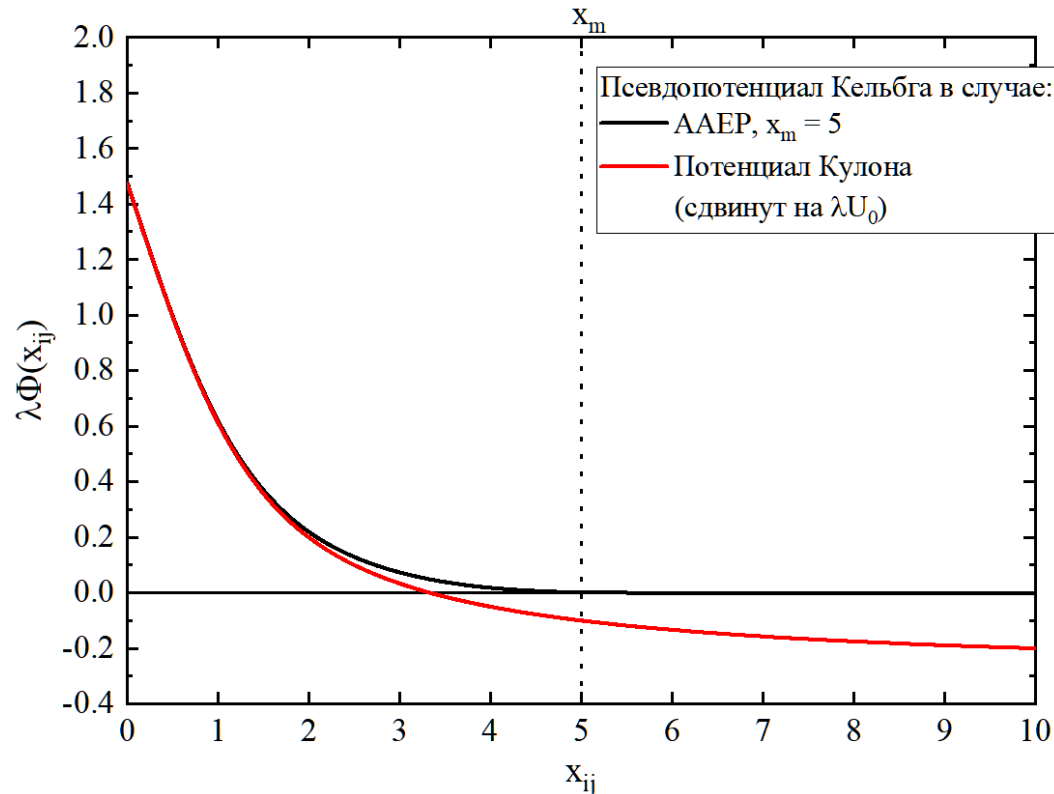
¹Joint Institute for High Temperatures of the Russian Academy of Sciences, Izhorskaya 13 Bldg 2, Moscow 125412, Russia

²Moscow Institute of Physics and Technology, Institutskiy Pereulok 9, Dolgoprudny, Moscow Region 141701, Russia

*onegin.as@phystech.edu

Accounting for long-range interaction in the Kelbg pseudopotential

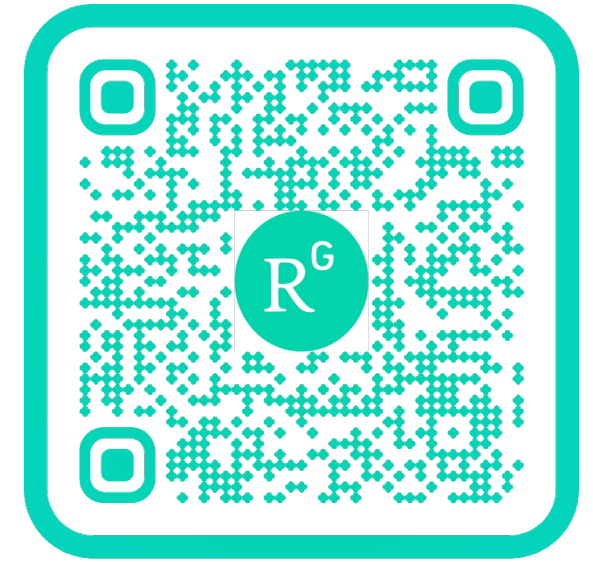
Georgy S. Demyanov^{1,2} | Pavel R. Levashov^{1,2}



Заключение

В этой работе:

1. Был получен усредненный потенциал Эвальда (ААЕР) и выражение для энергии для однокомпонентной плазмы
2. Был произведен (кратко) анализ полученного потенциала
3. Был получен термодинамический предел энергии однокомпонентной плазмы с использованием $N = 10^6$



demyanov.gs@phystech.edu
pasha@jiht.ru

- G. S. Demyanov, and P. R. Levashov. "Systematic derivation of angular-averaged Ewald potential." *Journal of Physics A: Mathematical and Theoretical* 55.38 (2022): 385202., <https://doi.org/10.1088/1751-8121/ac870b>
- G. S. Demyanov, and P. R. Levashov. "One-Component Plasma of a Million Particles via Angular-Averaged Ewald Potential: A Monte Carlo Study." *Physical Review E* 106(1), 2022, p. 015204., <https://doi.org/10.1103/PhysRevE.106.015204>
- G. S. Demyanov, and P. R. Levashov. "Accounting for long-range interaction in the Kelbg pseudopotential." *Contributions to Plasma Physics* 62.10 (2022): e202200100., <https://doi.org/10.1002/ctpp.202200100>

Двухкомпонентная плазма (ТСР)

Электронейтральность:

$$\sum_{i=1}^N Q_i = 0$$

Потенциальная энергия (периодические гран. условия):

$$E = \frac{1}{2} \sum_{\mathbf{n}}' \sum_{i=1}^N \sum_{j=1}^N \frac{Q_i Q_j}{|\mathbf{r}_{ij} + \mathbf{n}L|}$$

$$\rho_{Gauss}(\mathbf{r}) = \sum_{j=1}^N \sum_{\mathbf{n}} Q_j \left(\frac{\delta^2}{\pi L^2} \right)^{3/2} \exp(-\delta^2 |\mathbf{r} - (\mathbf{r}_j + \mathbf{n}L)|^2 / L^2)$$

Сумма по Эвальду ($\delta \gg 1$):

$$E = \phi_1 \sum_{i=1}^N Q_i^2 + \frac{1}{2} \sum_{i=1}^N \sum_{\substack{j=1 \\ i \neq j}}^N Q_i Q_j \phi_2(\mathbf{r}_{ij})$$

$$\phi_1 = \frac{1}{L} \left[\frac{1}{2\pi} \sum_{\mathbf{n} \neq 0} \exp\left(-\frac{\pi^2}{\delta^2} n^2\right) n^{-2} - \frac{\delta}{\sqrt{\pi}} \right] \quad (5)$$

$$\phi_2(\mathbf{r}_{ij}) = \frac{1}{L} \left[\frac{\text{erfc}(\delta r_{ij}/L)}{r_{ij}/L} + \frac{1}{\pi} \sum_{\mathbf{n} \neq 0} \exp\left(-\frac{\pi^2}{\delta^2} n^2\right) n^{-2} \cos(2\pi \mathbf{n} \cdot \mathbf{r}_{ij}/L) \right] \quad (6)$$

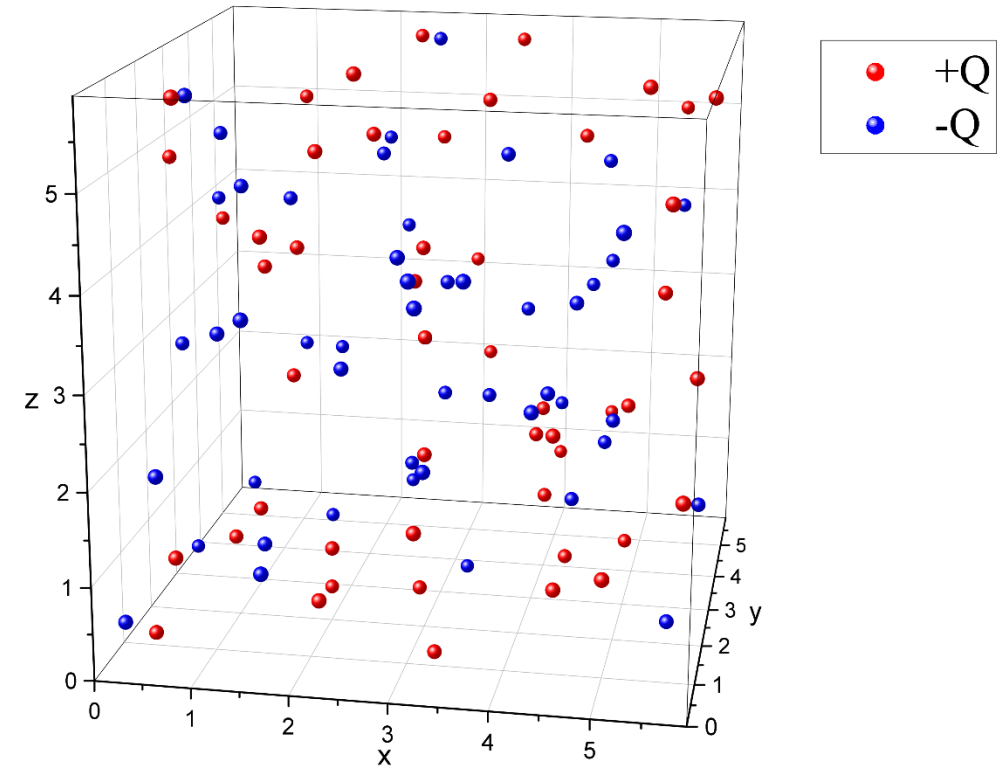
(1)

(2)

(3)

(4)

(5)



N точечных частиц \mathbf{r}_i, Q_i , куб L^3

δ – параметр
Гауссова
размазывания

Двухкомпонентная плазма: усреднение потенциала

Усреднение парного потенциала по углам (по Якубу и Рончи [1]):

$$\phi_2^a(r_{ij}) = \frac{1}{4\pi} \int_{-1}^1 d(\cos \theta) \int_0^{2\pi} \phi_2(\mathbf{r}_{ij}) d\psi \quad (1)$$

Усредненный парный потенциал (зависит только от $r = |\mathbf{r}|$):

$$\phi_2^a(r) = \frac{1}{r} \left[\operatorname{erfc}(\delta r/L) + \frac{1}{2\pi^2} \sum_{\mathbf{n} \neq 0} \exp(-\pi^2 n^2 / \delta^2) n^{-3} \sin(2\pi n r / L) \right] \quad (2)$$

Разложим в ряд Тейлора:

$$\phi_2^a(r) = \frac{1}{r} \left(1 + \sum_{k=1}^{+\infty} C_k r^{2k+1} \right) \quad (3)$$

$$C_k = \frac{2(-1)^k}{(2k+1)L^{2k+1}} \left[\frac{(2\pi)^{2k-1}}{(2k)!} \sum_{\mathbf{n}} f_k(\mathbf{n}) - \frac{\delta^{2k+1}}{\sqrt{\pi} k!} \right] + \frac{2\pi}{3L^3} \delta_{1,k}, \quad f_k(\mathbf{n}) = \exp\left(-\frac{\pi^2 n^2}{\delta^2}\right) n^{2(k-1)} \quad (4)$$

Легко найти нулевой коэффициент:

$$C_0 = \frac{2}{L} \left[\frac{1}{2\pi} \sum_{\mathbf{n} \neq 0} \exp(-\pi^2 n^2 / \delta^2) n^{-2} - \frac{\delta}{\sqrt{\pi}} \right] = 2\phi_1 \quad (5)$$

Усредненный потенциал: задача суммирования

Для $k \geq 1$ необходимо найти сумму:

$$\sum_{\mathbf{n}} f_k(\mathbf{n}), \quad k \geq 1, \quad f_k(\mathbf{n}) = \exp\left(-\frac{\pi^2 n^2}{\delta^2}\right) n^{2(k-1)} \quad (1)$$

Формула Пуассона + Мультиномиальная теорема (бином Ньютона) [2]:

$$\begin{aligned} \sum_{\mathbf{n}} f_k(\mathbf{n}) &= \frac{2}{\pi^{2k}} \Gamma(k + 1/2) \delta^{2k+1} \sum_{s=0}^{k-1} a_{s,k} \delta^{2s} \frac{(-1)^s s!}{2^s} \\ &\times \sum_{\alpha_1 + \alpha_2 + \alpha_3 = s} \frac{1}{\alpha_1! \alpha_2! \alpha_3!} \left(\frac{1}{\delta} \frac{\partial}{\partial \delta}\right)^{\alpha_1} \vartheta_3(0, e^{-\delta^2}) \times \left(\frac{1}{\delta} \frac{\partial}{\partial \delta}\right)^{\alpha_2} \vartheta_3(0, e^{-\delta^2}) \times \left(\frac{1}{\delta} \frac{\partial}{\partial \delta}\right)^{\alpha_3} \vartheta_3(0, e^{-\delta^2}) \end{aligned} \quad (2)$$

Коэффициенты $a_{s,k}$ и тета-функции Якоби:

$$a_{s,k} = \frac{(1-k)^{(s)}}{(3/2)^{(s)} s!}, \quad a_{0,k} = 1, \quad \vartheta_3(0, x) = \sum_{q=-\infty}^{+\infty} x^{q^2} \quad (3)$$

Равенство в формуле (2) точное!

Усредненный потенциал: предел $\delta \rightarrow \infty$

В пределе бесконечно малого размытия:

$$\lim_{\delta \rightarrow \infty} \vartheta_3(0, e^{-\delta^2}) = \lim_{x \rightarrow 0} \vartheta_3(0, x) = 1 \implies \sum_{\mathbf{n}} f_k(\mathbf{n}) = \frac{2}{\pi^{2k}} \Gamma(k + 1/2) \delta^{2k+1} \quad (1)$$

Получаем все коэффициенты $k \geq 1$:

$$C_k = \frac{2\pi}{3L^3} \delta_{1,k}, \quad \delta \rightarrow \infty \quad (2)$$

Парный усредненный потенциал:

$$\phi_2^a(r) = (1 + C_0 r + C_1 r^3)/r \quad (3)$$

TCP Angular-averaged Ewald potential (AAEP) (впервые получено в [1]):

$$E^a = \frac{1}{2} \sum_{i=1}^N \sum_{\substack{j=1 \\ i \neq j}}^N \frac{Q_i Q_j}{r_{ij}} \left(1 + \frac{2\pi}{3L^3} r_{ij}^3 \right) = \frac{1}{2} \sum_{i=1}^N \sum_{\substack{j=1 \\ i \neq j}}^N Q_i Q_j \varphi(r_{ij}), \quad \boxed{\varphi(r) = \frac{1}{r} \left[1 + \frac{1}{2} \left(\frac{r}{r_m} \right)^3 \right]} \quad (4)$$

$$r_m = \left(\frac{3}{4\pi} \right)^{1/3} L \iff \frac{4\pi}{3} r_m^3 = L^3 \quad (5)$$

[1] Yakub E. and Ronchi C., J. Chem. Phys. 119, 11556 (2003)

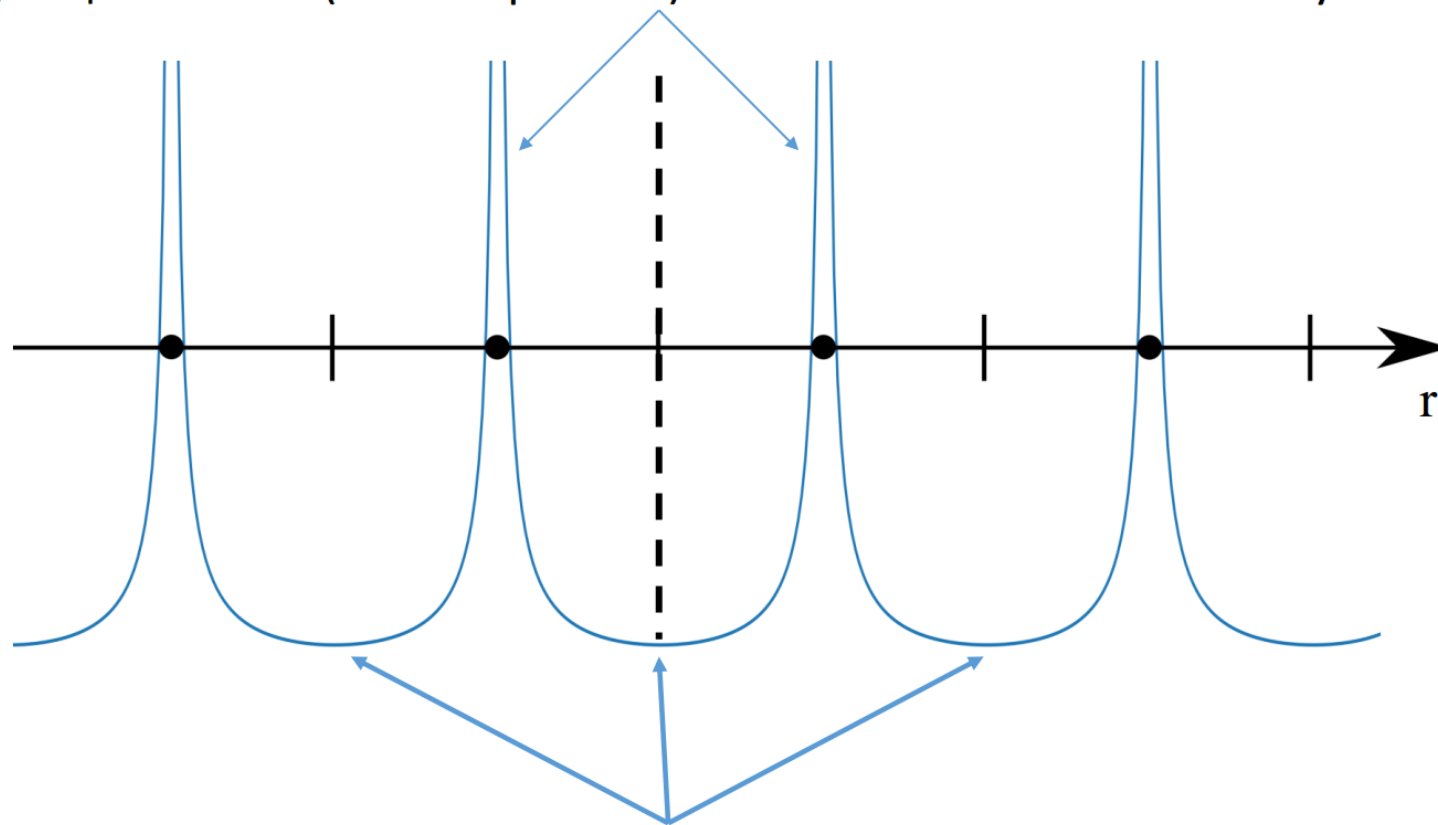
[2] Demyanov G. S. and Levashov P. R. J. Phys. A: Math. Theor. 55, 385202 (2022)

Анализ ААЕР

Вдоль некоторого направления в кристалле потенциал должен:

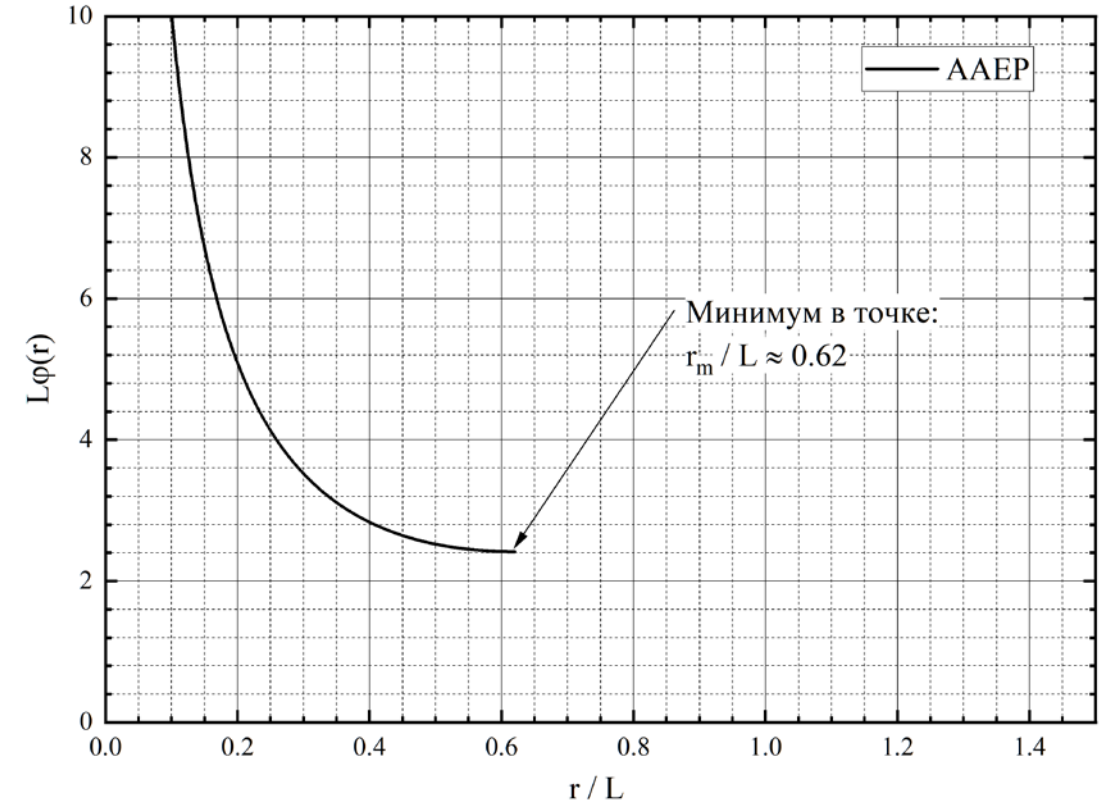
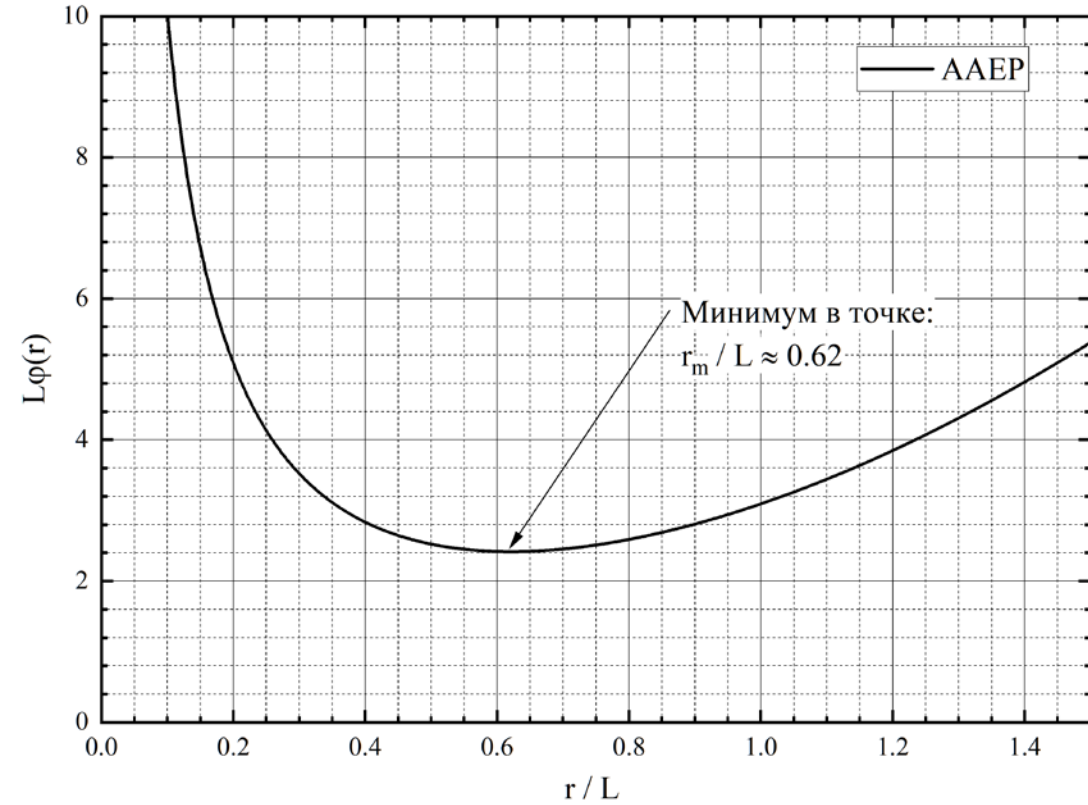
- Быть периодичным
- Иметь минимум в некоторой точке
- Быть симметричным относительно точки минимума

Функция четная (симметричная) относительно точек минимумов



Точки минимумов

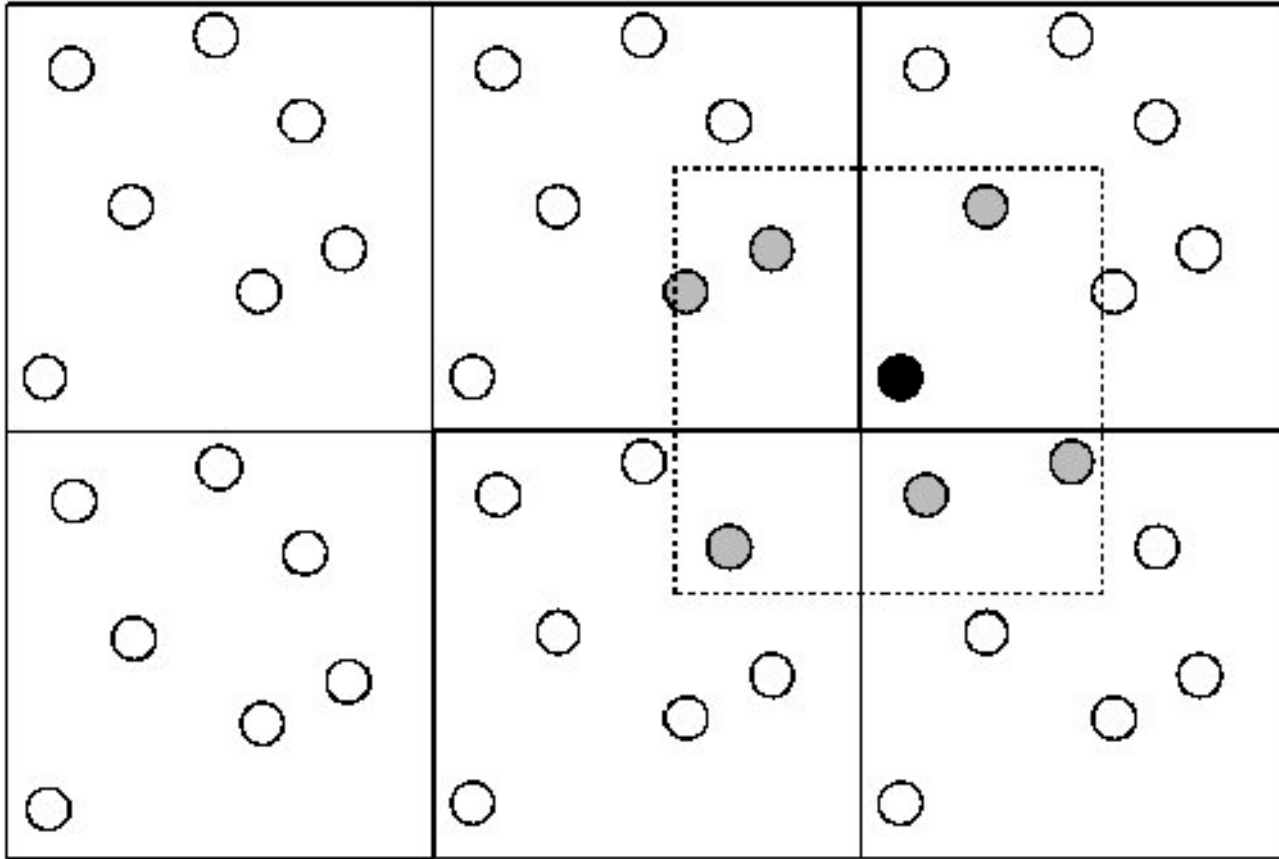
Обрезание ААЕР



$$\varphi(r) = \frac{1}{r} \left[1 + \frac{1}{2} \left(\frac{r}{r_m} \right)^3 \right] \quad (1)$$

$$\varphi(r) = \frac{1}{r} \left[1 + \frac{1}{2} \left(\frac{r}{r_m} \right)^3 \right], \quad r \leq r_m \quad (2)$$

Minimum-image convention

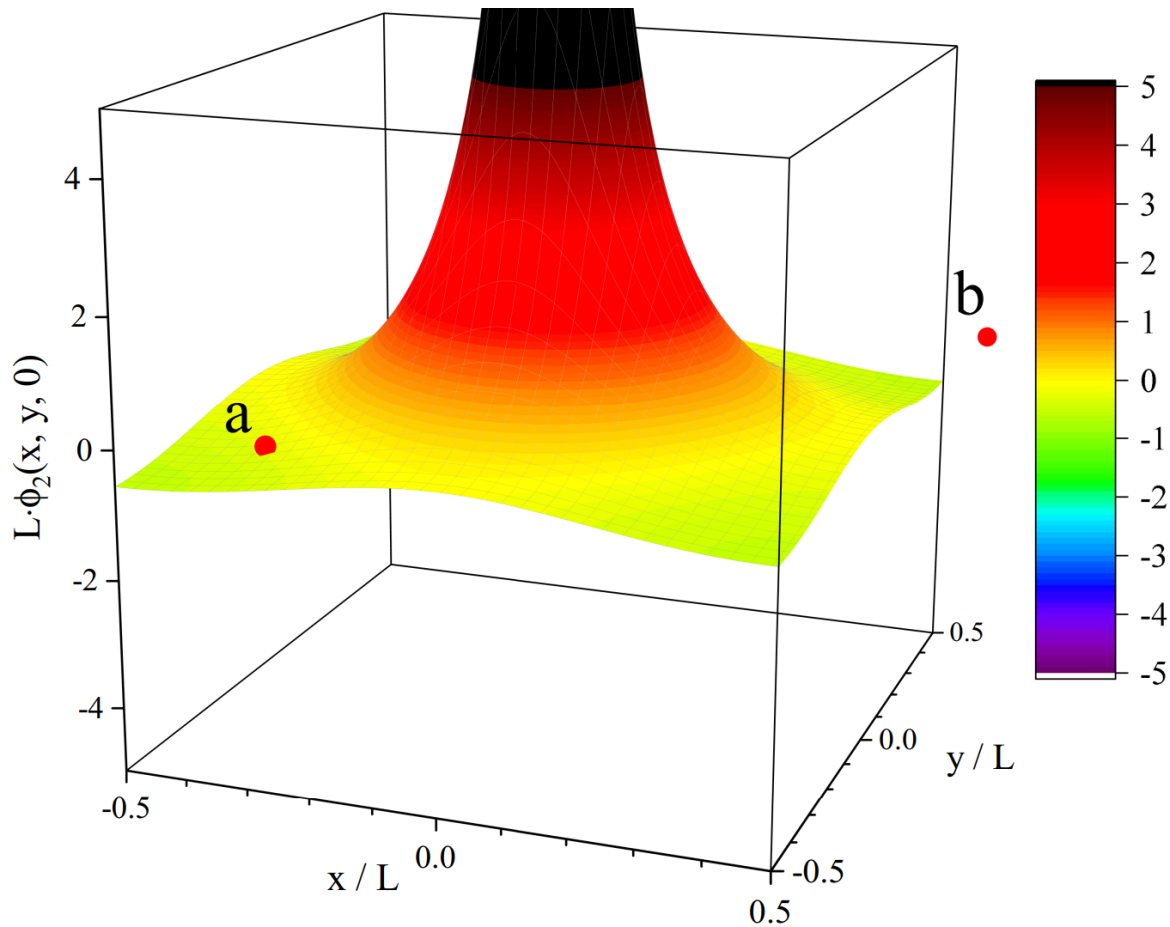


Расчет взаимодействия со всеми частицами
в основной ячейке



1. Проводим куб с центром в ячейке
2. Рассчитываем взаимодействие со всеми частицами в этом кубе

Процедура Эвальда



$$u(\mathbf{r}_i) = 2Q_i\phi_1 + \sum_{\substack{j=1 \\ i \neq j}}^N Q_j\phi_2(\mathbf{r}_{ij}), \quad E = \frac{1}{2} \sum_{i=1}^N Q_i u(\mathbf{r}_i) \quad (1)$$

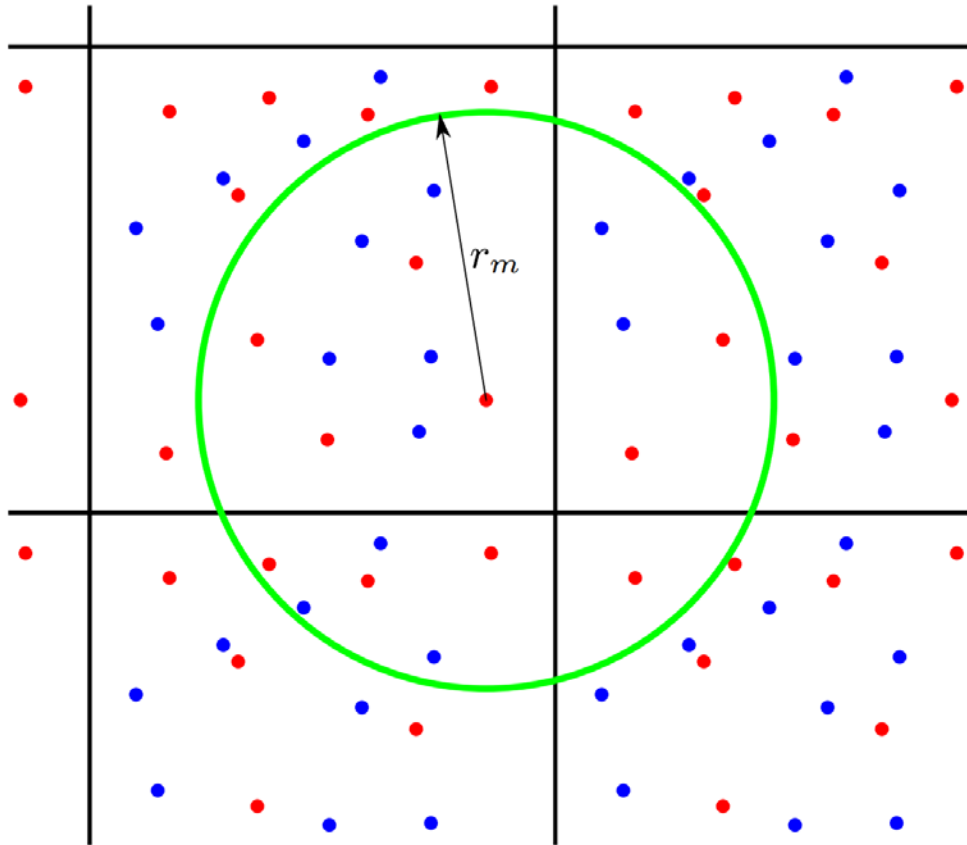
«Minimum-image convention»

Минимумы на поверхности куба:

$$\frac{\partial \phi_2(\mathbf{r})}{\partial \alpha} = 0, \quad \alpha = x, y, z \text{ при } \alpha = \pm L/2 \quad (2)$$

Объем куба: L^3

Процедура расчета с ААЕР



$$u^a(\mathbf{r}_i) = \sum_{\substack{j=1 \\ i \neq j}}^{N_{s,i}} Q_j \varphi(r_{ij}) \quad (1)$$

Минимумы на сфере:

$$\frac{\partial \varphi(r)}{\partial r} = 0, \quad r = r_m \quad (2)$$

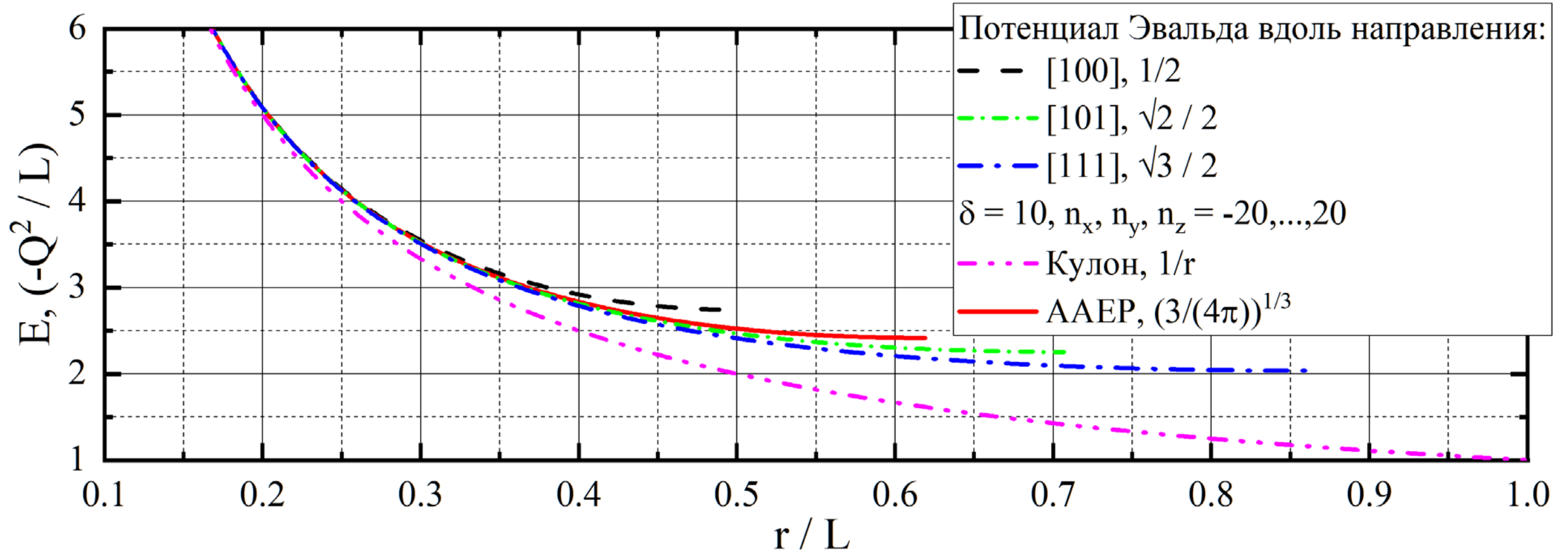
Объем шара: $4\pi r_m^3/3 = L^3$

Алгоритм расчета энергии:

- (а) Поместить центр сферы в точку \mathbf{r}_i выбранного иона i ;
- (б) Вычислить энергию его взаимодействия с каждым j -ым ионом, если $|\mathbf{r}_i - \mathbf{r}_j| \leq r_m$

Псевдокод: Jha P K, et al. 2010 J. Chem. Theory Comput. 6 3058 (см. Fig. 2)

Эвальд vs ААЕР



Плотность заряда, порождаемая ААЕР

Потенциал одной частицы в ячейке:

$$U(\mathbf{r}) = Q_1 \varphi(|\mathbf{r} - \mathbf{r}_1|) \quad (1)$$

Уравнение Пуассона:

$$\Delta U(\mathbf{r}) = -4\pi\rho(\mathbf{r}) \quad (2)$$

Лапласиан ААЕР:

$$\Delta\varphi(r) = -4\pi\delta(\mathbf{r}) + \frac{3}{r_m^3} \quad (3)$$

Плотность заряда:

$$\rho(\mathbf{r}) = -\frac{\Delta U(\mathbf{r})}{4\pi} = Q_1\delta(\mathbf{r} - \mathbf{r}_1) - \frac{3Q_1}{4\pi r_m^3} \quad (4)$$

Проинтегрируем по сфере:

$$\iiint \rho(\mathbf{r})d^3r = Q_1 - \frac{3Q_1}{4\pi r_m^3} \frac{4\pi r_m^3}{3} = 0 \quad (5)$$

ААЕР = Кулон + Шар противоположного однородного заряда

Сдвиг ААЕР

Вычтем и добавим значение в минимуме:

$$\frac{1}{2} \sum_{i=1}^N \sum_{\substack{j=1 \\ i \neq j}}^N Q_i Q_j [\varphi(r_{ij}) - \varphi(r_m) + \varphi(r_m)] = \frac{1}{2} \sum_{i=1}^N \sum_{\substack{j=1 \\ i \neq j}}^N Q_i Q_j \tilde{\varphi}(r_{ij}) + \frac{1}{2} \sum_{i=1}^N \sum_{\substack{j=1 \\ i \neq j}}^N Q_i Q_j \varphi(r_m) \quad (1)$$

Сдвинутый потенциал:

$$\tilde{\varphi}(r) = \begin{cases} \frac{1}{r} \left[1 + \frac{1}{2} (r/r_m) ((r/r_m)^2 - 3) \right], & r \leq r_m \\ 0, & r > r_m. \end{cases} \quad (2)$$

Постоянное слагаемое можно переписать следующим образом:

$$\frac{1}{2} \sum_{i=1}^N \sum_{\substack{j=1 \\ i \neq j}}^N Q_i Q_j \varphi(r_m) = \frac{1}{2} \sum_{i=1}^N \sum_{j=1}^N Q_i Q_j (1 - \delta_{ij}) \varphi(r_m) = - \sum_{i=1}^N \frac{3Q_i^2}{4r_m} \quad (3)$$

Финальное выражение для энергии:

$$E^a = - \sum_{i=1}^N \frac{3Q_i^2}{4r_m} + \frac{1}{2} \sum_{i=1}^N \sum_{\substack{j=1 \\ i \neq j}}^{N_{s,i}} Q_i Q_j \tilde{\varphi}(r_{ij}) \quad (4)$$

ААЕР: постоянная Маделунга

$$M = -\frac{3Z_i}{2r_m/r_0} + r_0 \sum_{\substack{j=1 \\ i \neq j}}^{N_s} Z_j \tilde{\varphi}(r_{ij}), \quad (1)$$

L/a	N	$N_s - N$	Z	$Z/N, \%$	$ M $	Отличие, %
1	8	-1	-5	-62.5	1.52583	-12.7
3	216	-13	-29	-13.4	1.73993	-0.4
5	1000	21	41	4.1	1.75509	0.4
13	17576	-19	5	0.03	1.74618	-0.08
29	195112	55	55	0.03	1.74748	-0.005
62	1906620	-230	25	0.001	1.74762	0.003
135	19683000	1700	-293	-0.001	1.74755	-0.0007

Точно: 1.74756

NaCl

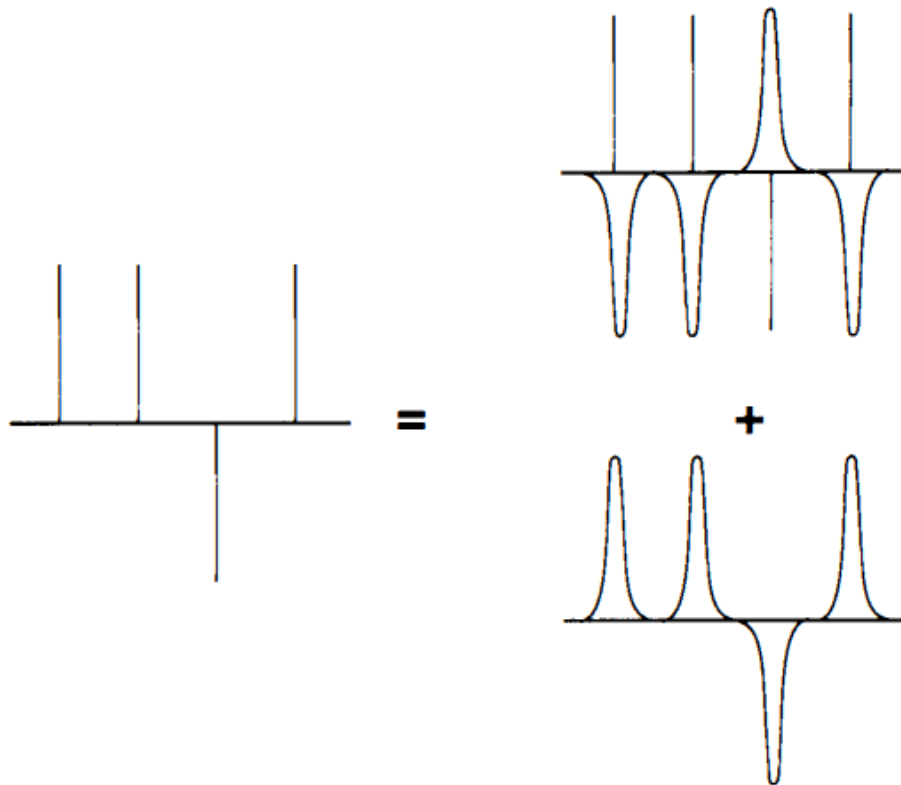
L/a	N	$N_s - N$	Z	$Z/N, \%$	$ M $	Отличие, %
1	16	-1	-1	-6.3	1.75683	-0.3
2	128	9	25	19.5	1.81369	2.9
5	2000	-11	53	2.7	1.76123	-0.1
10	16000	49	1	0.01	1.76421	0.09
23	194672	129	241	0.12	1.76302	0.02
50	2000000	-687	17	0.001	1.76262	-0.003
107	19600700	-931	107	0.001	1.76267	-0.0002

Точно: 1.76267

CsCl

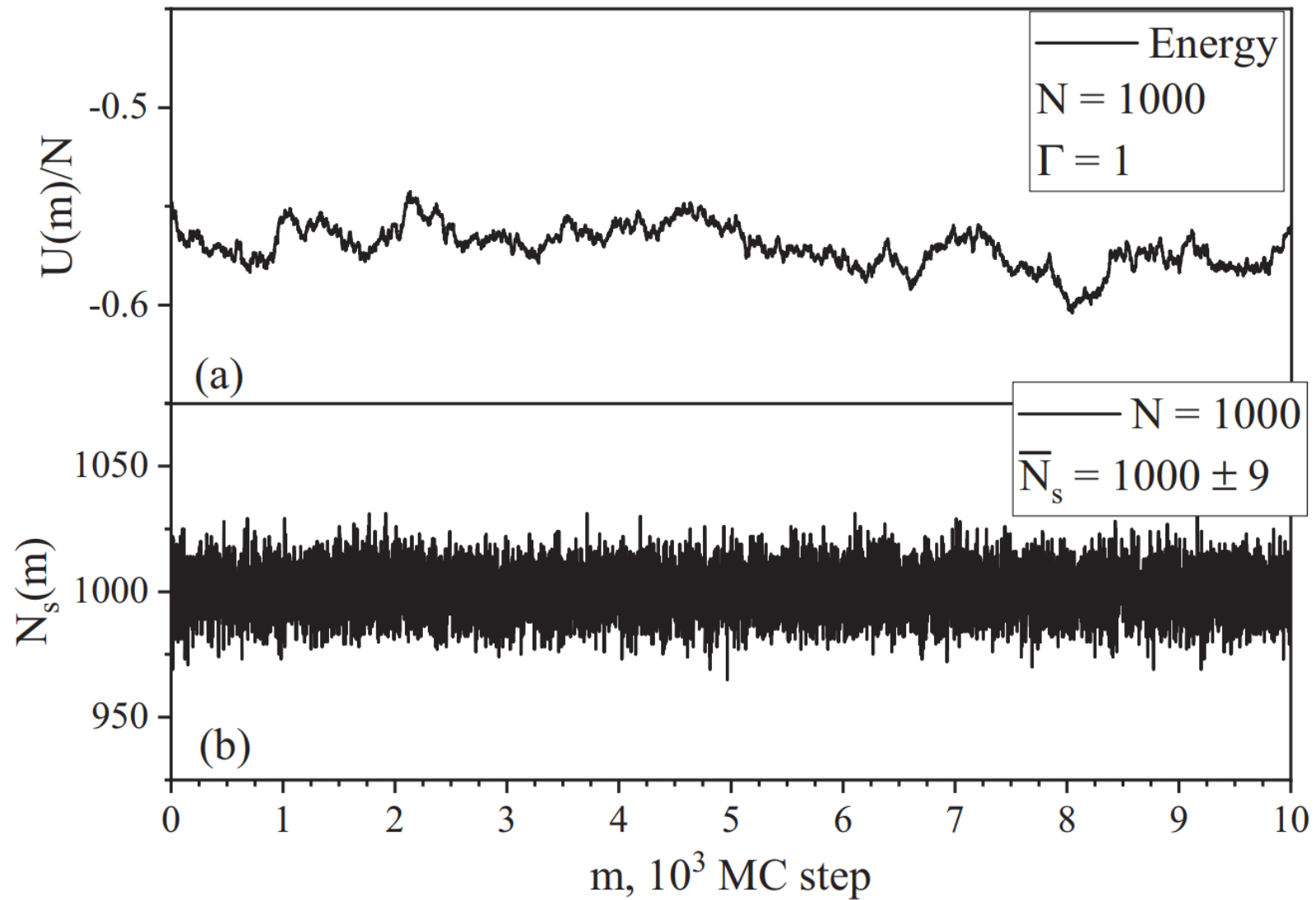
Метод суммирования Эвальда

$$\rho_{Full}(\mathbf{r}) = \left[\sum_{j=1}^N \sum_{\mathbf{n}} Q_j \delta(\mathbf{r} - (\mathbf{r}_j + \mathbf{n}L)) - \sum_{j=1}^N \sum_{\mathbf{n}} Q_j \left(\frac{\delta^2}{\pi L^2} \right)^{3/2} \exp(-\delta^2 |\mathbf{r} - (\mathbf{r}_j + \mathbf{n}L)|^2 / L^2) \right] + \sum_{j=1}^N \sum_{\mathbf{n}} Q_j \left(\frac{\delta^2}{\pi L^2} \right)^{3/2} \exp(-\delta^2 |\mathbf{r} - (\mathbf{r}_j + \mathbf{n}L)|^2 / L^2). \quad (1)$$

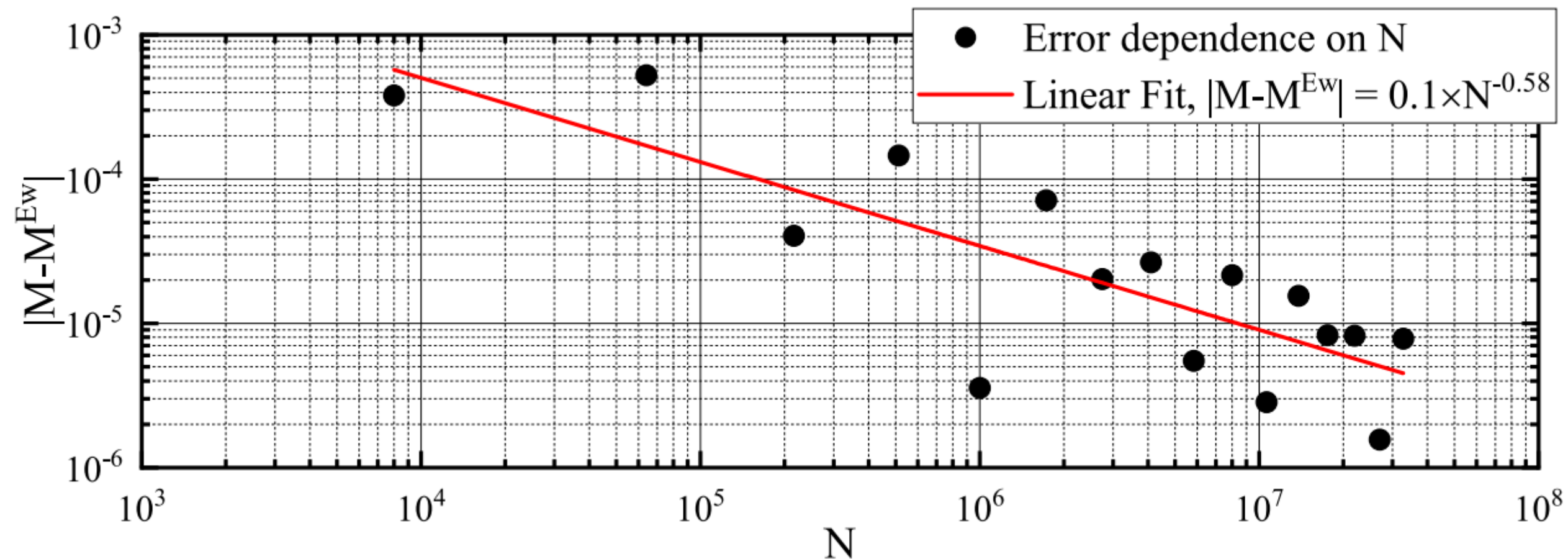


Добавляем и вычитаем плотность
заряда с размытием $\sqrt{L^2/2\delta^2}$

Флуктуации числа частиц в сфере



Сходимость (ТСР)



Однокомпонентная плазма: ААЕР

Усреднение анизотропной части потенциала:

$$\mathbf{x} \equiv \mathbf{r}/L, \quad x \equiv r/L$$

$$v_2^a(r_{ij}) = \frac{1}{4\pi} \int_{-1}^1 d(\cos \theta) \int_0^{2\pi} v_2(\mathbf{r}_{ij}) d\psi \quad (1)$$

Первое слагаемое:

$$\frac{1}{2} \int_{-1}^1 d(\cos \theta) \frac{\operatorname{erfc}(\sqrt{\pi}|\mathbf{x} + \mathbf{n}|)}{|\mathbf{x} + \mathbf{n}|} = \frac{f(|n - x|) - f(|n + x|)}{2\pi n x}, \quad f(n) = e^{-\pi n^2} - \pi n \operatorname{erfc}(\sqrt{\pi}n) \quad (2)$$

Второе слагаемое:

$$\frac{1}{2} \int_{-1}^1 d(\cos \theta) \cos(2\pi x n \cos \theta) = \frac{\sin(2\pi x n)}{2\pi x n} \quad (3)$$

Итого:

$$Lv_2^a(x) = \frac{1}{2\pi n x} \sum_{\mathbf{n} \neq \mathbf{0}} \left[f(|n - x|) - f(|n + x|) + \frac{e^{-\pi n^2}}{\pi n^2} \sin(2\pi n x) \right] \quad (4)$$

Тейлор ($x < 1 \leq n$):

$$Lv^a(x) = \frac{\operatorname{erfc}(\sqrt{\pi}x)}{x} - 1 + Lv_2^a(x) = \frac{1}{x} - C_0 + \frac{2\pi x^2}{3} + \sum_{k=2}^{\infty} C_k x^{2k} \quad (5)$$

$$C_0 = 3 - \sum_{\mathbf{n} \neq \mathbf{0}} \left(\frac{\operatorname{erfc}(\sqrt{\pi}n)}{n} + \frac{e^{-\pi n^2}}{\pi n^2} \right) = - \lim_{\mathbf{x} \rightarrow \mathbf{0}} \left(Lv_2(\mathbf{x}) - \frac{1}{x} \right) = M_{sc} (4\pi/3)^{1/3} \quad (6)$$

Однокомпонентная плазма: ААЕР

Коэффициенты разложения (вывод в [3]):

$$C_k = (-1)^k \sum_{\mathbf{n}} e^{-\pi n^2} \left[\frac{2^{2k} \pi^{2k-1} n^{2k-2}}{(2k+1)!} - \frac{2^{1+2k} \pi^{k-\frac{1}{2}}}{(2k+1)!} \Gamma\left(k + \frac{1}{2}\right) M\left(1 - k, \frac{3}{2}, n^2 \pi\right) \right] + \frac{2\pi}{3} \delta_{1,k}, k \geq 1 \quad (1)$$

Оказывается, что (формула Пуассона):

$$C_k = \frac{2\pi}{3} \delta_{1,k}, \quad k \geq 1 \quad (2)$$

ААЕР для однокомпонентной плазмы (точное равенство):

$$v^a(r) = \frac{1}{r} \left[1 - M_{sc} \frac{r}{r_m} + \frac{1}{2} \left(\frac{r}{r_m} \right)^3 \right], \quad r_m = \left(\frac{3}{4\pi} \right)^{\frac{1}{3}} L = N^{1/3} < L \quad (3)$$

Точка минимума $r = r_m$:

$$v^a(r_m) = \left[\frac{3}{2} - M_{sc} \right] / r_m, \quad \partial v^a(r) / \partial r|_{r=r_m} = 0 \implies v^a(r > r_m) = 0 \quad (4)$$

Возникает расходимость: $-M_{sc} \frac{r}{r_m}$

Коррекция ААЕР: кластерное разложение

Стат. сумма ($M_{sc} \rightarrow C$ – искомая константа):

$$Q_N(\Gamma) = \int \cdots \int \exp \left\{ -\Gamma \sum_{i < j} v^a(r_{ij}) \right\} d^3 r_1 \dots d^3 r_N$$

$$= \int \cdots \int \prod_{i < j} \exp \{ -\Gamma v^a(r_{ij}) \} d^3 r_1 \dots d^3 r_N \quad (1)$$

Функция Майера:

$$\exp \{ -\Gamma v^a(r_{ij}) \} = 1 + f_{ij} \quad (2)$$

Кластерное разложение:

$$Q_N(\Gamma) \approx \int \cdots \int \left(1 + \sum_{i < j} f_{ij} \right) d^3 r_1 \dots d^3 r_N$$

$$= \left(\frac{4\pi}{3} N \right)^N + \sum_{i < j} \int \cdots \int f_{ij} d^3 r_1 \dots d^3 r_N \quad (3)$$

Финальное выражение:

$$Q_N(\Gamma) \approx \left(\frac{4\pi}{3} N \right)^N \left\{ 1 + \frac{N(N-1)}{2} (3K(\Gamma, N) - 1) \right\} \quad (4)$$

$$K(\Gamma, N) = \int_0^1 \exp \{ -\Gamma v^a(sr_m) \} s^2 ds \quad (5)$$

Рассчитаем энергию:

$$\frac{E_{cl}}{Nk_B T}(\Gamma) = -\frac{1}{\Gamma} \frac{1}{Q_N(\Gamma)} \frac{\partial Q_N(\Gamma)}{\partial \Gamma}$$

$$\approx -\frac{1}{\Gamma} \frac{1}{\frac{2/3}{N(N-1)} + K(\Gamma, N) - 1/3} \frac{\partial K(\Gamma, N)}{\partial \Gamma} \quad (6)$$

В пределе идеального газа взаимодействия нет:

$$\frac{\partial K(\Gamma \rightarrow 0, N)}{\partial \Gamma} = 0 \Rightarrow C = 9/5 \quad (7)$$

Производим замену во всех формулах:

$$M_{sc} \rightarrow C = 9/5 \quad (8)$$

Корректный ААЕР ОСР:

$$v^a(r) = \frac{1}{r} \left[1 - \frac{9}{5} \frac{r}{r_m} + \frac{1}{2} \left(\frac{r}{r_m} \right)^3 \right] \quad (9)$$

Постоянное слагаемое также меняется:

$$U_{0a}(\Gamma) = \frac{\Gamma}{2} N \lim_{r \rightarrow 0} \left(v^a(r) - \frac{1}{r} \right) = -\frac{1}{2} N^{2/3} \Gamma C \quad (11)$$

Сдвиг ААЕР ОСР

Выпишем парную часть взаимодействия:

$$\frac{\Gamma}{2} \sum_{i=1}^N \sum_{\substack{j=1 \\ j \neq i}}^N (v^a(r_{ij}) - v^a(r_m) + v^a(r_m)) = \frac{N(N-1)\Gamma}{2} v^a(r_m) + \frac{\Gamma}{2} \sum_{i=1}^N \sum_{\substack{j=1 \\ j \neq i}}^N \tilde{v}(r_{ij}) \quad (1)$$

Сдвинутый потенциал

$$\tilde{v}(r) = \begin{cases} \frac{1}{r} \left\{ 1 + \frac{1}{2} \left(\frac{r}{r_m} \right) \left[\left(\frac{r}{r_m} \right)^2 - 3 \right] \right\}, & r < r_m \\ 0, & r \geq r_m. \end{cases} \quad (2)$$

Финальная формула:

$$U(\Gamma) = \tilde{U}_0(\Gamma) + \frac{\Gamma}{2} \sum_{i=1}^N \sum_{\substack{j=1 \\ j \neq i}}^{N_{s,i}} \tilde{v}(r_{ij}) \quad (3)$$

Постоянное слагаемое (два вклада):

$$\tilde{U}_0(\Gamma) = U_{0a}(\Gamma) + \frac{N(N-1)\Gamma}{2} v^a(r_m) = -\frac{N^{2/3}\Gamma C}{2} + \frac{N(N-1)}{2r_m} \left[\frac{3}{2} - C \right] \Gamma = -\frac{3}{20} N^{2/3} \Gamma (N+5) \quad (4)$$

ААЕР ОСР: Постоянная Маделунга

$$M = -\frac{3}{20}N^{-1/3}(N + 5) + \frac{1}{2} \sum_{\substack{j=1 \\ j \neq i}}^{N_s} \tilde{v}(r_{ij}) \quad (1)$$

N_c	N	$N_s - N$	M	Отличие, %
1	2	-1	-0.8333856	-6.98088
3	54	5	-0.9036126	0.85759
4	128	9	-0.8998543	0.43810
8	1024	-59	-0.8941086	-0.20322
17	9826	15	-0.8956311	-0.03327
37	101306	243	-0.8959880	0.00655
79	986078	-543	-0.8959281	-0.00013
171	10000422	203	-0.8959254	-0.00043
369	100486818	763	-0.8959294	0.00002

Точно: -0.8959293

ОЦК (BCC)

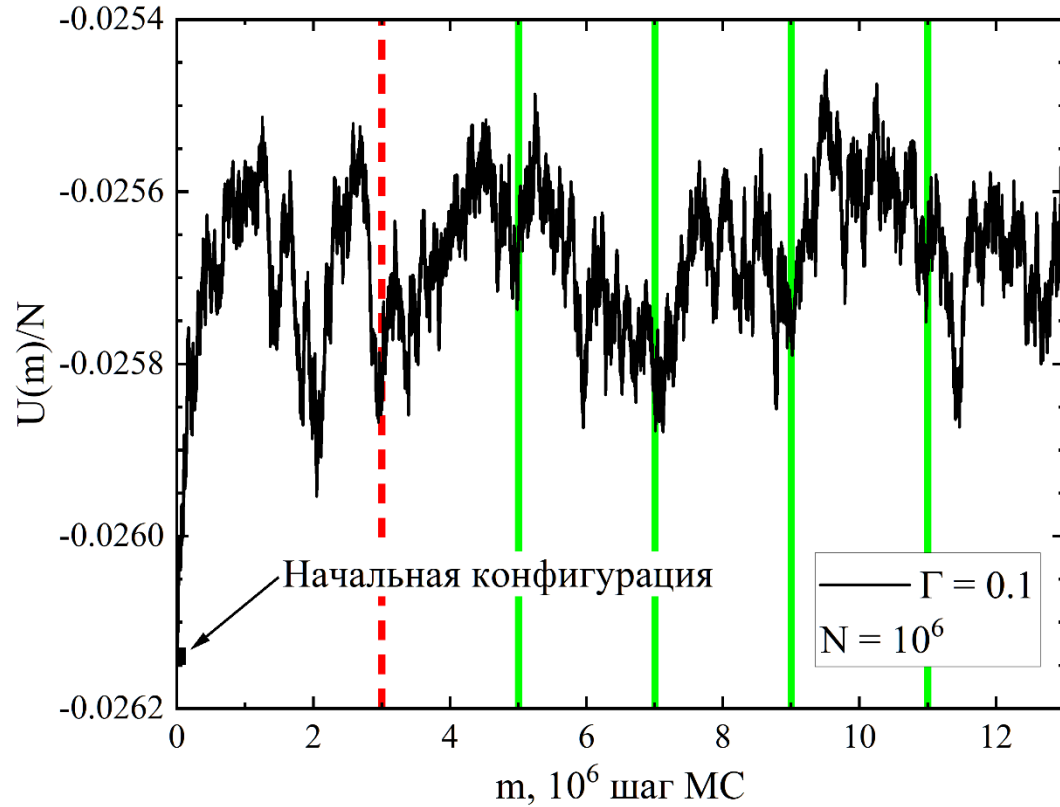
N_c	N	$N_s - N$	M	Отличие, %
1	4	-3	-0.8504467	-5.07068
2	32	11	-0.8971610	0.14370
4	256	-7	-0.8947975	-0.12012
8	2048	45	-0.8962085	0.03738
17	19652	-175	-0.8957744	-0.01107
37	202612	89	-0.8958525	-0.00235
79	1972156	-169	-0.8958673	-0.00070
171	20000844	-207	-0.8958733	-0.00003
369	200973636	505	-0.8958739	0.00003

Точно: -0.8958736

ГЦК (FCC)

ААЕР ОСР: Монте-Карло

Используем стандартную процедуру моделирования Монте-Карло (см. S. G. Brush, et al., J. Chem. Phys. 45, 2102 (1966))

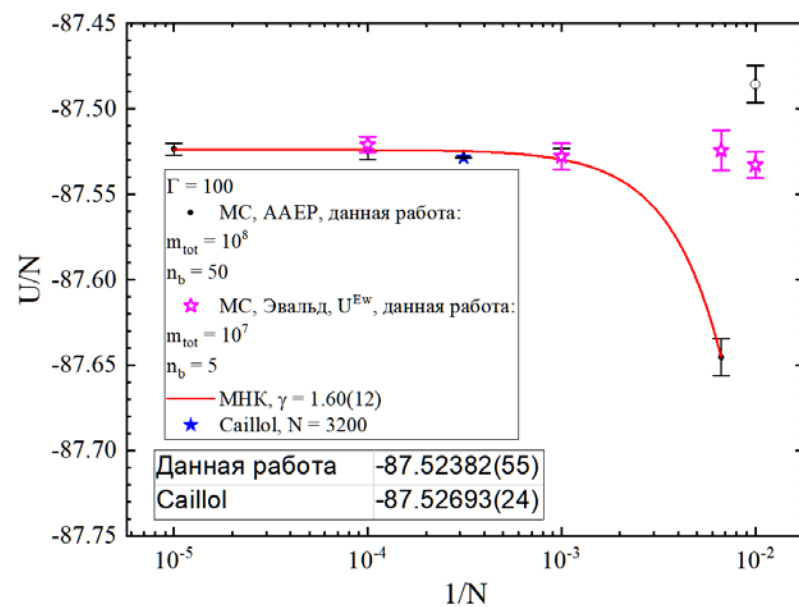
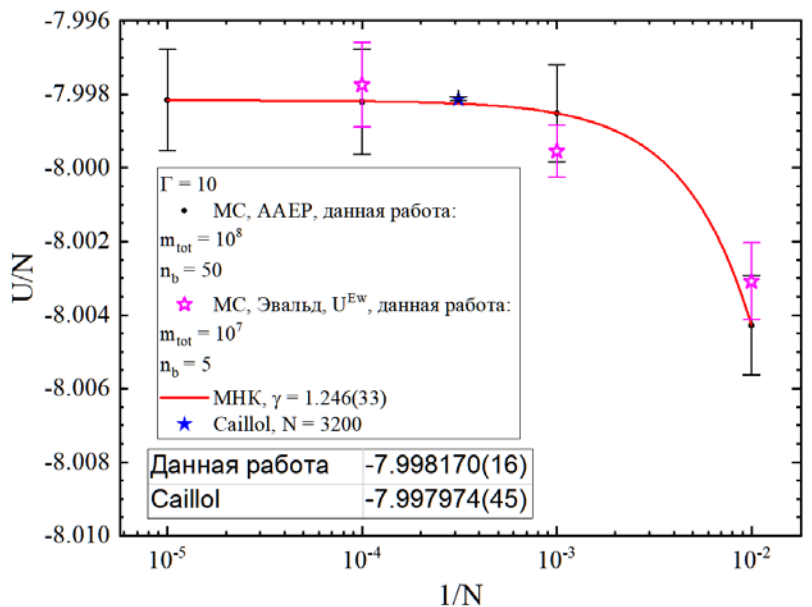
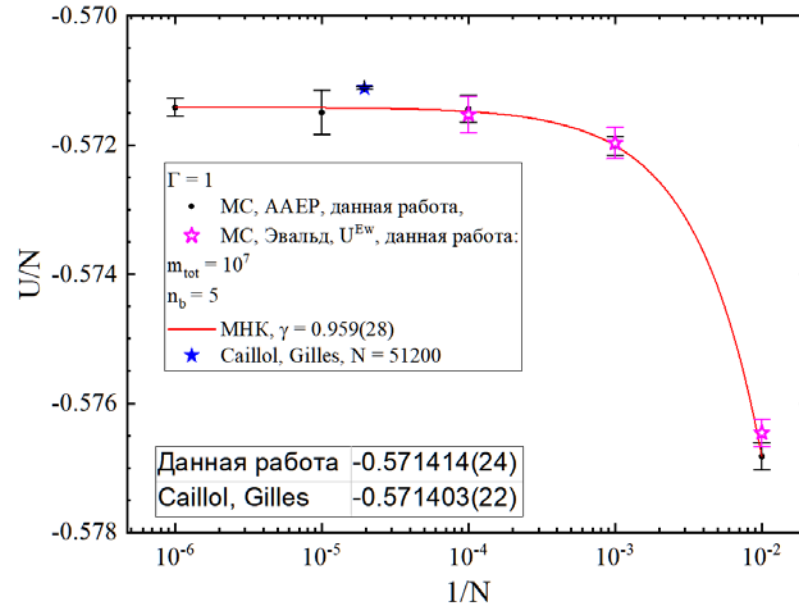
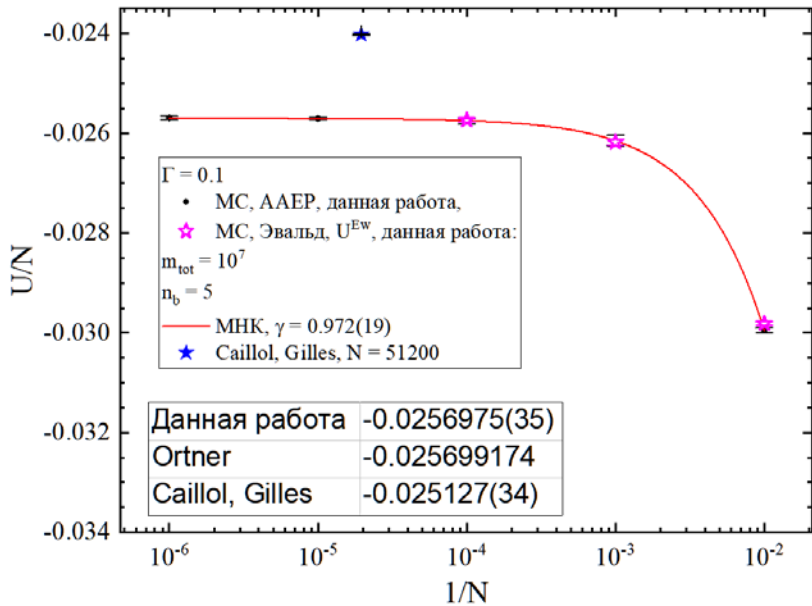


$$\sigma = \sqrt{\frac{1}{n_b - 1} \sum_{l=1}^{n_b} \left(\frac{\bar{U}(l)}{N} - \frac{U}{N} \right)^2} \quad (1)$$

Параметры моделирования:

Γ	N	m_{tot}	n_b
0.01	$10^2, 10^3, 10^4, 5 \times 10^4, 10^5, 10^6$	10^7	5
0.05	$10^2, 10^3, 10^4, 10^5, 10^6$	10^7	5
0.1	$10^2, 10^3, 10^4, 10^5, 10^6$	10^7	5
1	$10^2, 10^3, 10^4, 10^5, 10^6$	10^7	5
10	$10^2, 10^3, 10^4, 10^5$	10^8	50
100	$10^2, 150, 10^3, 10^4, 10^5$	10^8	50

ААЕР ОСР: Монте-Карло, N-зависимость



Предполагаемая N-зависимость:

$$\frac{U}{N}(1/N) = \frac{U}{N}(0) + b(1/N)^\gamma$$